

کانی‌شناسی، ژئوشیمی و دگرسانی کانه‌ها در رگه‌های اپیترمال کانسار گلوچه، شمال زنجان

مجید قاسمی سیانی^(۱)، بهزاد مهرابی^(۲)، حسین عزیزی^(۳)

۱. استادیار گروه ژئوشیمی، دانشکده علوم زمین، دانشگاه خوارزمی

۲. استاد گروه ژئوشیمی، دانشکده علوم زمین، دانشگاه خوارزمی

۳. دانشیار گروه اکتشاف معدن، دانشکده مهندسی معدن، دانشگاه کردستان

تاریخ دریافت: ۹۵/۰۳/۱۰

تاریخ پذیرش: ۹۵/۰۷/۱۹

چکیده

کانسار چند فلزی اپیترمال گلوچه در بخش مرکزی ایالت فلزیابی طارم-هشتجمین در منطقه ساختاری البرز-آذربایجان (البرزغربی) قرار دارد. کانسار گلوچه متشکل از چهار رگه اصلی در دو منطقه مجزا نامهای گلوچه شمالی و گلوچه جنوبی است. آندزیت بازالت و داسیت به ترتیب سنگ میزبان کانه‌زایی در گلوچه جنوبی و گلوچه شمالی هستند. این منطقه در بردارنده سنگ‌های نفوذی (گرانودیوریت، گرانیت و کوارتزمنزونیت)، دایک‌های دیابازی و سنگ‌های آشفشانی-آذرآواری (داسیت، ریولیت، آندزیت‌بازالت، بازالت، آندزیت و توف) است. بر اساس روابط ژنتیکی و متقاطع رگه و رگچه‌ها، کانه‌زایی در رگه‌های گلوچه در سه مرحله (۱) مرحله اول شامل مجموعه کانی‌های حاوی آرسنیک-آنتیموان-مس-طلاء-آهن، (۲) مرحله میانی شامل مجموعه کانی‌های حاوی سرب-روی-مس-نقره و (۳) مرحله پایانی حاوی هماتیت، گوتیت و کانی‌های حاوی نقره، بیسموت، طلا و سرب تشکیل شده است. مطالعات کانی‌شناسی و شیمی کانی‌های نقره‌دار در گلوچه شامل آرژنتینیت، نقره‌طبعی، تتراهریت‌نقره‌دار، پلی‌بازیت، ماتیلیدیت و ماریت می‌باشند. کانه‌زایی طلا در زیر مرحله 1B (مرحله اول) به همراه هماتیت‌های ورقه‌ای (اسپکیولاویت) به صورت خالص و در زیر مرحله 3A (مرحله سوم) به صورت ادخال طلای خالص و الکتروم در هماتیت و کوارتز رخ داده است. دگرسانی‌های منطقه گلوچه شامل پروپیلیتی، آرژیلیکی، سریسیتی و سیلیسی‌شدن بوده، که به صورت یک منطقه‌بندی مشخص تا ۳۰ متر اطراف رگه‌ها در سنگ میزبان گسترش دارند. حرارت‌سنگی کلریت در پهنه آرژیلیکی دمای ۲۷۵ درجه سانتی‌گراد (مرحله دوم کانه‌زایی) و در پهنه پروپیلیتی دمای ۲۰۰ درجه سانتی‌گراد (مرحله سوم کانه‌زایی) را نشان می‌دهد. تبدلات جرمی پهنه‌های دگرسان نشان داد که عناصر آلومنینیم، زیرکنیم، تیتانیم، ایتریم، نیوبیم و عناصر نادر خاکی سنگین، عناصر غیر متوجه در طی دگرسانی هستند.

واژه‌های کلیدی: کانی‌شناسی، ژئوشیمی، دگرسانی، رگه‌های اپیترمال، ایالت فلزیابی طارم-هشتجمین، گلوچه.

مقدمه

کانه‌زایی گلوچه در شمال استان زنجان، در بخش میانی طارم-هشتجمین در کمربند ماگمایی البرز غربی (کمربند ماگمایی البرز-آذربایجان)، در محل اتصال با کمربند ماگمایی ارومیه-دختر، قرار دارد (افتخارنژاد، ۱۳۵۹؛ آقانباتی، ۱۳۸۳) ایالت فلزیابی طارم-هشتجمین قرار گرفته است. ایالت فلزیابی

* نویسنده مرتبط: majid4225@yahoo.com

کانیابی و رخداد کانی‌سازی چند مرحله‌ای، کانی‌شناسی، مطالعات هالله‌های دگرسان و تعیین توزیع فلزات قیمتی (طلا و نقره) در رگه‌های کانه‌دار گلوجه و تعیین میزان آنها از اهداف این تحقیق است.

روش مطالعه

برای مطالعات مینرالوگرافی، ژئوشیمی و دگرسانی کانه‌ها، تعداد ۱۲۰ مقطع صیقلی، نازک صیقلی و نازک از نمونه‌های برداشت شده از مغزه‌های حفاری، ترانشه، رگه و رگچه‌ها و پهنه‌های دگرسانی در منطقه گلوجه تهیه شد. مطالعات میکروسکوپی در دانشگاه خوارزمی و مرکز تحقیقات فرآوری مواد معدنی ایران انجام شد. مطالعات تکمیلی تر بر روی نقاط مشخص شده در مرحله مطالعه میکروسکوپی به روش SEM در دانشگاه لیدز انگلیس با دستگاه مدل FEI Quanta 650 FEG-ESEM مشخص شده در بررسی مطالعات SEM برای مطالعات EPMA در مرکز تحقیقات فرآوری مواد معدنی ایران به وسیله دستگاه مایکروپریوب مدل CAMECA X 100 با شرایط ۲۰ کیلوولت و ۲۰ نانو آمپر و با یک قطر اشعه یک تا پنج میکرون بررسی شده‌اند. همچنان تعداد ۸۰ نمونه از فازهای کانه‌زایی برای شناسایی کانه‌های فلزی و غیرفلزی در رگه‌ها و پهنه‌های دگرسان در مرکز تحقیقات فرآوری مواد معدنی ایران انجام شد. برای مطالعات ژئوشیمی هاله‌های دگرسان تعداد ۲۶ نمونه از پهنه‌های دگرسان و غیر دگرسان به روش XRF و ICP-OES در دانشگاه خوارزمی مورد تجزیه قرار گرفت.

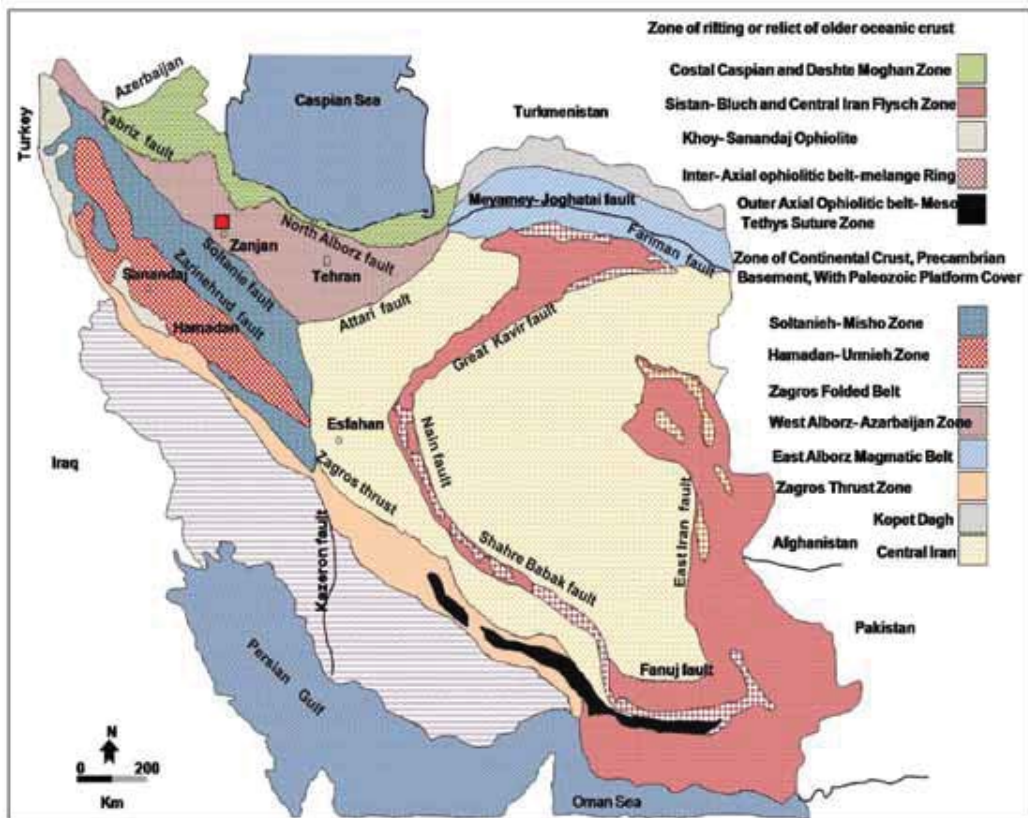
زمین‌شناسی

در ایالت فلزیابی طارم- هشتگین سنگ‌های نفوذی و آتشفشارانی- آذرآواری متعلق به سنتزهایک با ترکیب حدوداً سطتا اسیدی گسترش دارند (فریدی و انوری، ۱۳۸۳). ایالت فلزیابی طارم- هشتگین از چهار واحد چینه‌شناسی، سنگ بستر دگرگونی پرکامبرین، سنگ‌های دگرگونی کامبرین و پرمین، سنگ آهک و ماسه سنگ ژوراسیک تا کرتاسه و سنگ‌های آتشفشارانی- نفوذی ائوسن تا الیگوسن تشکیل شده است (فریدی و انوری، ۱۳۸۳ و قربانی، ۱۳۸۶) (شکل ۲).

و قربانی، ۱۳۸۶) (شکل ۱). چرخه مagma تیسم البرز در ائوسن- الیگوسن منجر به تشکیل سنگ‌های آذرین نفوذی، نیمه‌نفوذی و آتشفشارانی- رسوبی از قبیل گدازه‌های بازالتی، آندزیتی، داسیتی، ریولیتی، توف و گرانیت تا گرانودیوریت در ایالت فلزیابی طارم- هشتگین شده که باعث کانه‌زایی‌های متعددی در این پهنه شده است (قربانی، ۱۳۸۶ و حاج علیلو، ۱۳۷۸). رخداد توده‌های نفوذی و نیمه‌نفوذی (حاج علیلو، ۱۳۷۸) وجود پهنه‌های دگرسانی گسترد و متنوع (هادی‌زاده، ۱۳۸۳)، باعث شده تا ایالت فلزیابی طارم- هشتگین از دیدگاه کانه‌زایی و زمین‌شناسی اقتصادی جزء مناطق مستعد برای اکتشاف رخدادهای معدنی مختلف باشد (Ghorbani, 2013). منطقه معدنی گلوجه در بخش مرکزی ایالت فلزیابی طارم- هشتگین واقع شده و اخیراً به عنوان یکی از پتانسیل‌های معدنی مهم فلزات پایه و گرانیها معروفی شده است. محدوده اکتشافی فلزات پایه و گرانیها گلوجه برای اولین بار براساس نتایج حاصل از اکتشافات ۱:۱۰۰۰۰ ژئوشیمیابی ناحیه‌ای برگه هشتگین توسط شرکت توسعه علوم زمین (۱۳۸۲) اکتشاف شد. تاکنون معدنکاری مدرنی (به صورت روباز و زیرزمینی) در کانسار گلوجه انجام نشده و تنها آثار شدادی قدیمی به صورت تونل و چاه مشاهده شده است. طی چندین فاز اکتشافی مدرن از سال ۱۳۸۲ تا ۱۳۸۸، رگه و رگچه‌های کانی‌سازی شده در سرتاسر ناحیه گلوجه اکتشاف شد. طی سال‌های ۱۳۸۲ و ۱۳۸۳، رگه‌های گلوجه شمالی و در سال ۱۳۸۵، رگه‌های گلوجه جنوبی اکتشاف شد. در گلوجه جنوبی تعداد شش ترانشه اکتشافی به متراز ۳۲۰ متر و در گلوجه شمالی تعداد ۵۰ ترانشه اکتشافی به متراز ۲۸۰ متر حفر شده است. در منطقه معدنی گلوجه جنوبی تعداد هشت گمانه حفر و حدود ۱۰۶۰ متر مغزه حفاری استخراج شده و در منطقه گلوجه شمالی تعداد نه گمانه اکتشافی حفر و حدود ۱۱۵۰ متر مغزه حفاری از آن استخراج شده است. میزان ذخیره تقریبی گلوجه، ۲/۲۷ میلیون تن با عیار متوسط ۳ درصد سرب، ۲/۲ درصد روی، ۱/۵ درصد مس، ۲/۸۸ گرم در تن طلا و ۳۵۰ گرم در تن نقره برآورد شده است. توجه به وجود منطقه‌بندی در کانسار گلوجه، تنوع و پیچیدگی مجموعه

قرار گرفته است. واحد چینه‌شناسی مژوزوئیک، متشكل از ماسه‌سنگ، سنگ آهک و سیلتستون است که به صورت ناهمشیب بر روی واحد پرمین قرار گرفته است. بیشترین حجم ناحیه، متشكل از واحدهای آتشفسانی-نفوذی ائوسن-الیگوسن است که در سرتاسر ناحیه گسترش دارد.

سنگ‌های دگرگونی پرکامبرین غیرقابل تفکیک هستند و از شیست، فیلیت و سنگ‌های فلسیک تشکیل شده‌اند. واحد چینه‌شناسی کامبرین متشكل از دولومیت است که بر روی واحد پرکامبرین تشکیل شده است و خود در زیر واحد سنگی سنگ آهک و شیل دگرگونی درجه ضعیف پرمین



شکل ۱. تقسیم‌بندی واحدهای ساختاری-ماگماتی ایران (افتخارنژاد، ۱۳۵۹)، موقعیت منطقه مورد مطالعه در کمان ماگماتی البرز غربی (پهنه البرز-آذربایجان) واقع شده است

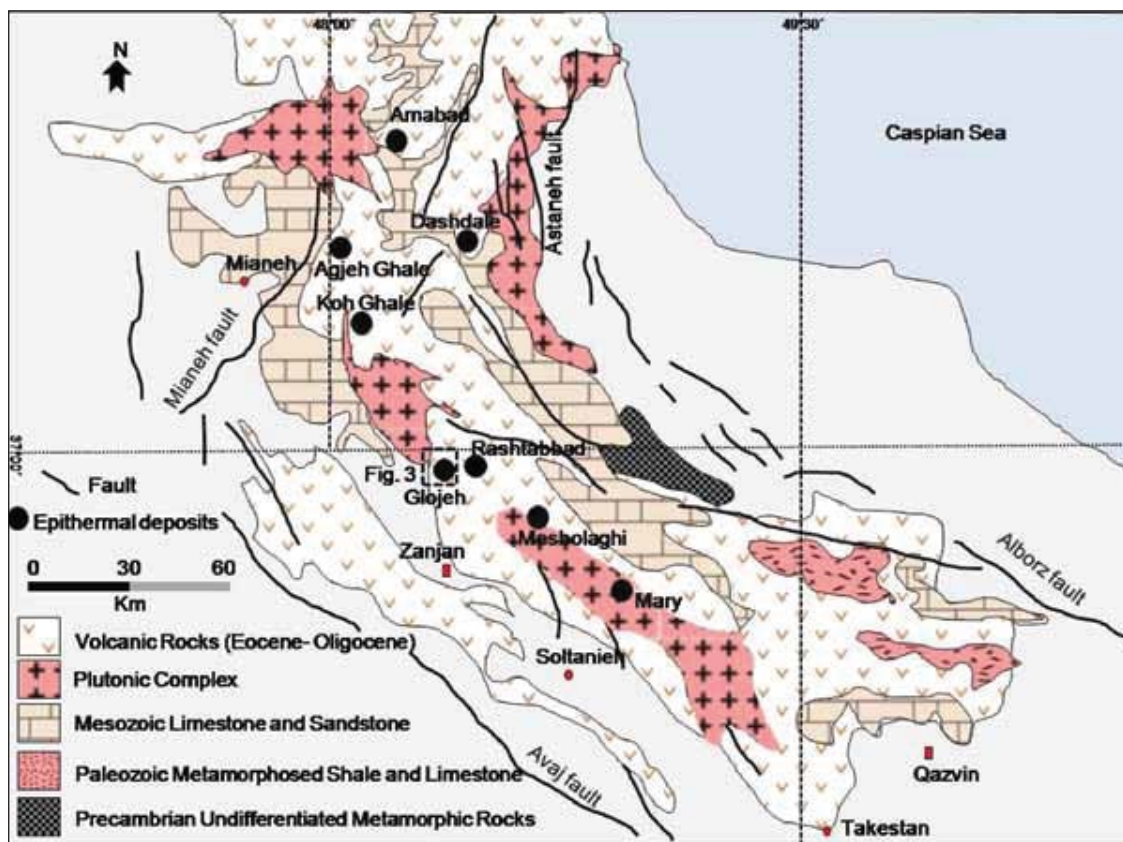
منطقه گلوجه متشكل از واحدهای آتشفسانی-تخریبی، توده‌نفوذی، چندین دایک دیابازی و رسوبات کواترنری است (شکل ۳). کانی‌سازی منطقه گلوجه در دو بخش مجرای رخ داده است (شکل ۳). رگه و رگچه‌های بخش شمالی منطقه به نام گلوجه شمالی و رگه و رگچه‌های جنوبی به نام گلوجه جنوبی در نظر گرفته شده‌اند. سنگ‌های آتشفسانی منطقه مورد مطالعه دارای طیف ترکیبی بازالت تا ریولیت (شکل ۳). پلاژیوکلاز از نوع آندزین-الیگوکلاز شکل دار تا نیمه‌شکل دار به عنوان درشت بلور در این سنگ‌ها تبلور یافته است. بلورهای پلاژیوکلاز کائولینیتی شده‌اند و در مواردی دارای بافت گلومروپورفیری هستند. کوارتز به مقدار خیلی کم به عنوان فتوکریست تبلور یافته و بخشی از خمیره سنگ

منطقه گلوجه جنوبی در نظر گرفته شده‌اند. سنگ‌های آتشفسانی گلوجه جنوبی در نظر گرفته شده‌اند. سنگ‌های نفوذی و سنگ‌های آتشفسانی-آذرآواری است. توده‌های نفوذی هم شامل گراناتوپورفیریت، گرانیت و کوارتز مونزونیت است. در این بخش تنها به شرح واحد داسیتی و آندزیت بازالت پرداخته می‌شود که میزان کانه‌زایی گلوجه شمالی و گلوجه

کانه‌زایی

همان‌طور که در بخش قبلی توضیح داده شد، کانه‌زایی در گلوچه در دو بخش جداگانه و به صورت رگه و رگچه‌های شمالی (گلوچه شمالی) و رگه و رگچه‌های جنوبی (گلوچه جنوبی) رخ داده است (شکل ۳). کانه‌زایی در گلوچه شمالی از دو رگه اصلی شماره یک و شماره دو و چندین رگه و رگچه فرعی در کنار هم و به موازات هم با روند شرقی-غربی تشکیل شده است (شکل ۴-الف). مجموع طول رگه‌ها حداقل ۱۵۰۰ متر و ضخامت متوسط ۲/۵ متر است. شب رگه‌های کانه‌دار قائم و کمی متمایل به شمال می‌باشد. کانه‌زایی در گلوچه جنوبی در دو رگه اصلی (A) و چندین رگه فرعی در مجاورت رگه‌های کانه‌دار اصلی رخ داده است (شکل ۴-ب). رگه A به طول ۴۸۰ متر و ضخامت متوسط ۲/۵ متر، با راستای شمال شرق-جنوب غرب و رگه B با طول حدود ۶۰۰ متر و ضخامت متوسط سه متر دارای راستای شمال غرب-جنوب شرق است.

را همراه با آلکالی فلدسپات به صورت بلورهای بی‌شکل در ابعاد کریپتوکریستالین- میکروکریستالین تشکیل می‌دهد. سنگ‌های نفوذی با ترکیب گرانیتی، کوارتز-مونزونیتی و گرانو-دیوریتی به رنگ خاکستری مایل به سیز و با صورتی هستند. سنگ‌های گرانیتی شامل پلازیوکلاز، فلدسپات آلکالن با بافت پرتیتی، کوارتز و بیوتیت است. بافت آنتی راپاکیوی و گرافیکی در گرانیت مشاهده شده است. سنگ‌های کوارتز-مونزونیت دارای بافت گرانولار-گرانولار مونزونیتی و در بخش‌هایی پوئی کلیتیک می‌باشند. کانی‌های اصلی از نوع پلازیوکلاز، فلدسپات آلکالن، کوارتز، بیوتیت، کلینوپیروکسن با تبدیل شدگی به آمفیبول و گاه هورنبلند است. گرانو-دیوریت‌ها متشکل از پلازیوکلاز، کوارتز و بیوتیت هستند. آلکالی فلدسپار و هورنبلند نیز در این سنگ‌ها تشکیل شده است. بین فلدسپار پتاسیک و کوارتز، بافت گرافیک ناشی از هم رشدی این دو کانی دیده می‌شود.



شکل ۲. نمایی کلی از ایالت فلزی طارم-هشتگین و نمایش واحدهای زمین‌شناسی و کانسارهای ابی‌ترمال در این پهنه (با تغییرات از قربانی، ۱۳۸۶)

دگرسانی

کوارتز، پیریت، کلریت و سریسیت می‌باشد (شکل ۶-و). دگرسانی آرژیلیکی در منطقه گلوچه به دو زیر پهنه قابل تقسیم است به طوری که در بخش‌های داخلی تر کانی‌های کوارتز، کائولینیت، آلونیت و پیریت تشکیل شده که مطابق با دگرسانی آرژیلیک پیشرفت‌ه است (شکل ۶-ز)، و در بخش‌های بیرونی تر، پهنه آرژیلیک با کانی‌های مونت موریونیت، سریسیت، کلسیت و ایلیت و به خصوص کلریت مشخص است که منطبق بر دگرسانی آرژیلیک حدواسط است (شکل ۶-و). بخش‌هایی از پهنه دگرسانی آرژیلیک (مرز زون آرژیلی و پروپیلیتی) مقدار کلریت افزایش می‌باید و منطبق بر کانه‌زایی سرب و روی است (شکل ۶-ح).

دگرسانی پروپیلیتیک در منطقه معدنی گلوچه گسترش بیشتری دارد و اغلب سنگ‌های رخنمون یافته متحمل دگرسانی پروپیلیتیک شده‌اند. دگرسانی پروپیلیتیک در سنگ‌های حدواسط و مافیک نسبت به سنگ‌های اسیدی گسترش بیشتری دارد (Gemmell, 2004, 2006). بنابراین دگرسانی پروپیلیتیک در گلوچه جنوبی دارای گسترش بسیار وسیعی است و به رنگ سبز روشن تا تیره دیده می‌شود (شکل ۶-ط). دگرسانی پروپیلیتیک در بخش بیرونی تر نسبت به رگه‌های معدنی تشکیل شده است. تحت تأثیر دگرسانی پروپیلیتی در واحدهای رخنمون یافته، پلازیوکلازها به کانی‌های ثانویه از جمله کربنات، اپیدوت، سریسیت و کمی کانی‌های رسی تبدیل شده‌اند. کانی‌های مافیک نیز اغلب به کلریت، کربنات و اکسیدهای آهن تبدیل شده‌اند. پهنه‌های دگرسان در اطراف رگه‌های معدنی گلوچه یک پهنه‌بندی مشخصی را نشان می‌دهند. در نزدیکترین فاصله به رگه‌های معدنی، پهنه دگرسان سیلیسی دیده شده و پهنه سریسیتی در بین پهنه سیلیسی و پهنه آرژیلیکی قرار دارد (شکل ۵-الف). این منطقه‌بندی و نوع دگرسانی‌ها قبلًا در کانسارهای ایترمال نیز گزارش شده است (Camprubi and Albinson, 1981; Buchanan, 1981).

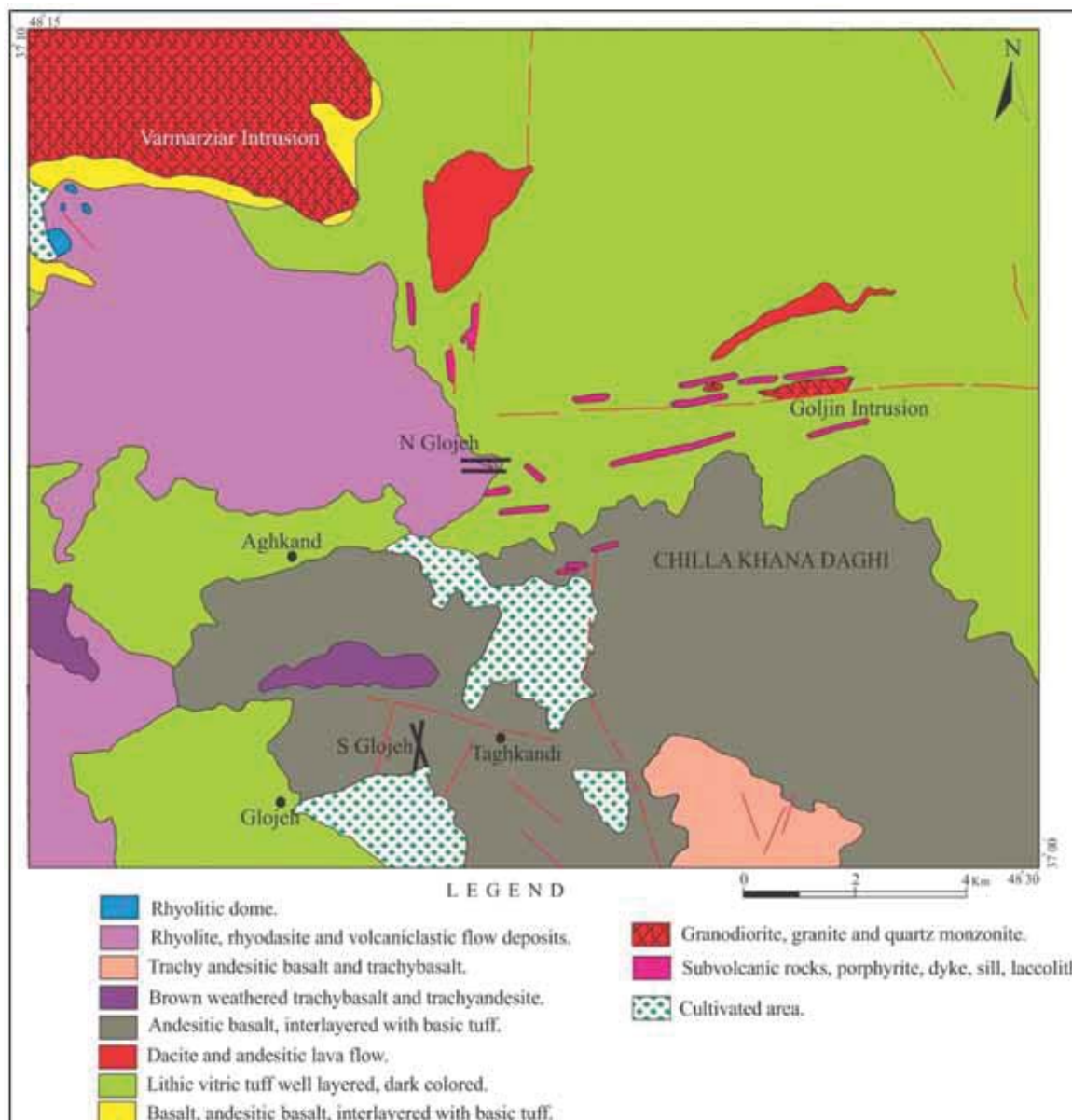
شکل ۷-الف به طور شماتیک (فاقد مقیاس) رگه‌های کانه‌زایی شده و منطقه‌بندی پهنه‌های دگرسان در اطراف رگه‌های گلوچه شمالی را نشان می‌دهد. پهنه‌های دگرسانی

یکی از ویژگی‌های کانسارهای ایترمال گسترش وسیع پهنه‌های دگرسانی در اطراف رگه‌های کانه‌زا است (Cooke and Simmons, 2000). در اطراف رگه‌های گلوچه نیز پهنه‌های دگرسان تا ۳۰ متر اطراف رگه‌ها در سنگ میزبان گسترش دارند (شکل ۵-الف و ج). پهنه‌های دگرسان در گلوچه شامل سیلیسی شدن، آرژیلیکی شدن، سریسیتی شدن و پروپیلیتی شدن است. در سنگ میزبان نیز پهنه‌های دگرسانی گسترش زیادی را نشان می‌دهند (شکل ۵-ب و ۵). سیلیسی شدن از متداول‌ترین انواع دگرسانی‌های گرمابی است که با افزایش مقدار درصد کوارتز و یا اکسیدهای سیلیس (چرت، اپال و کلسدؤن) در سنگ همراه است (Prajno, 1992). پهنه دگرسانی سیلیسی، نزدیکترین پهنه به رگه‌های کانه‌زایی است (شکل ۵-الف). سیلیسی شدن در اطراف رگه‌های گلوچه شمالی گسترش بیشتری دارد به طوری که در اثر تشکیل سیلیس در متن توفها، این سنگ‌ها به طور کامل سیلیسی شده و شبیه توف‌های ریولیتی شده‌اند. پهنه سیلیسی همراه با رگه است و به صورت توده‌ای و سخت می‌باشد (شکل ۶-الف). کانی اصلی این دگرسانی کوارتز است (شکل ۶-ب) و کانی‌های دیگر مثل کالسدونی، پیریت و آناتاز به مقدار کمتر در این پهنه تشکیل شده‌اند. پهنه سیلیسی یا از طریق اضافه شدن سیلیس از محلول‌های هیدروترمالی تشکیل می‌شود و یا با تبدیل کانی‌هایی مثل پلازیوکلازو و فلدسپات آلکالن به کانی‌های رسی، مقدار زیادی سیلیس در متن سنگ آزاد می‌شود.

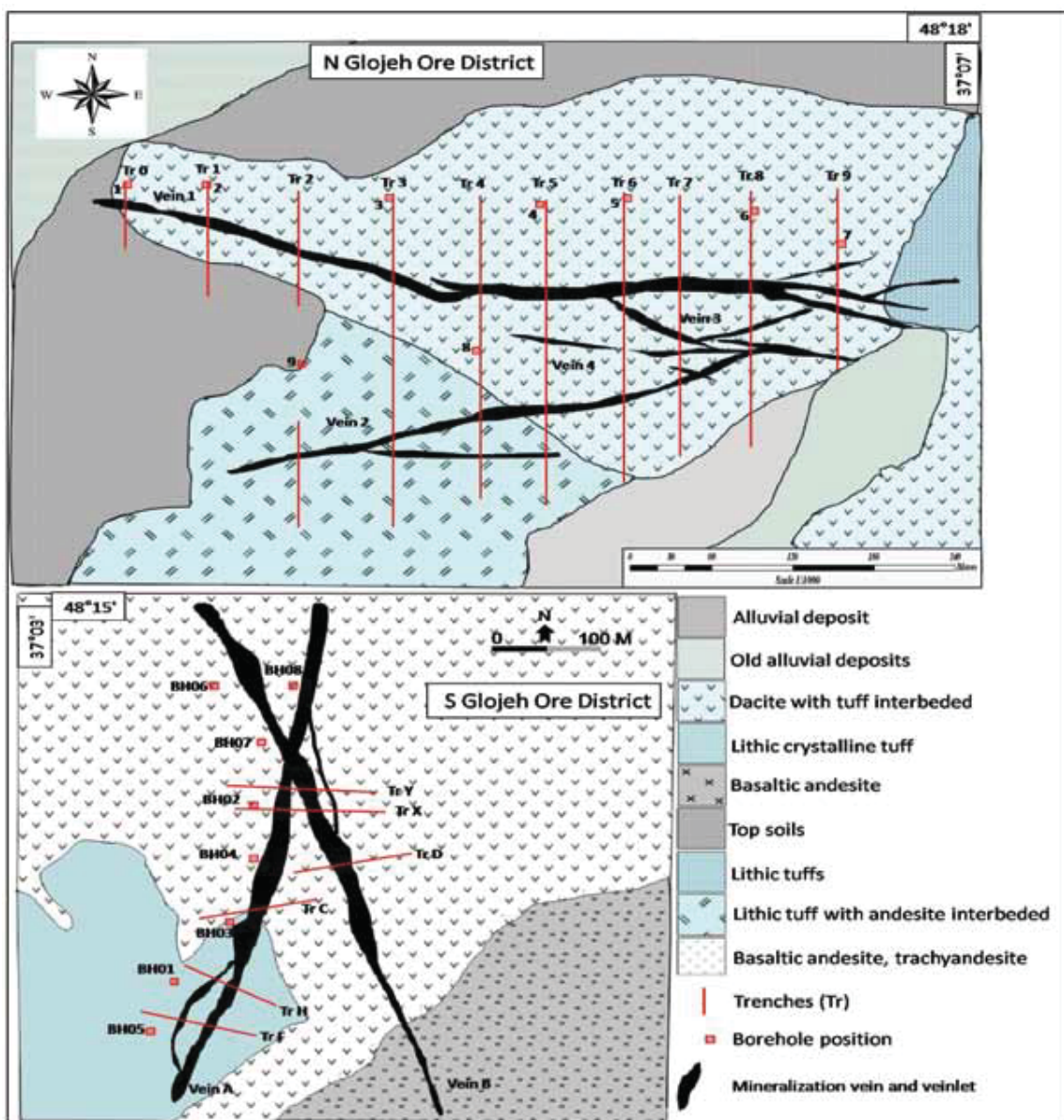
پهنه سریسیتی در زیر و اطراف پهنه آرژیلیکی گستردۀ شده و گسترش قابل توجهی به خصوص در اعماق دارد (شکل ۵-د). پهنه سریسیتی به رنگ نخودی و به همراه پهنه آرژیلیکی میزبان کانه‌زایی مس در گلوچه است (شکل ۶-ج) کانی‌های شاخص پهنه سریسیتی شامل سریسیت ریز دانه (موسکوویت)، پیریت و کوارتز و به مقدار کمتر کلسیت هستند (شکل ۶-د). رخداد دگرسانی آرژیلیکی در منطقه گلوچه به رنگ سفید تا کرم روشن (آرژیلی حدواسط) تا قرمز رنگ (آرژیلی پیشرفت‌ه) (شکل ۶-ه) است و متشکل از کانی‌های کائولینیت، ایلیت، مونتموریونیت، آلونیت،

بیان کردند که در مناطقی با توپوگرافی مسطح گسترش سیالات دگرسانی در اطراف رگه‌های کانه‌دار تدریجی است و پهنه‌های دگرسان دارای تقارن و از گسترش بیشتری برخوردار هستند. در منطقه گلوجه، گلوجه جنوبی دارای توپوگرافی مسطح است و گلوجه شمالی شب توبوگرافی شدید دارد. بنابراین در گلوجه جنوبی، پهنه‌های دگرسان تقارن و گستردگی بیشتری نسبت به گلوجه شمالی دارند.

در گلوجه شمالی و جنوبی از لحاظ وسعت و گستردگی دارای تفاوت‌هایی هستند. از مهم‌ترین این تفاوت‌ها منطقه‌بندی مشخص پهنه‌های دگرسان در گلوجه جنوبی نسبت به گلوجه شمالی است. به طوری که پهنه‌های دگرسان در گلوجه جنوبی در سطح دارای رخمنون وسیع هستند و با چشم و با توجه به تغییر رنگ می‌توان مرز پهنه‌های دگرسان را تشخیص داد (شکل ۵-الف و ج). White and Hedenquist (1995).



شکل ۳. نقشه زمین‌شناسی ساده گلوجه با تغییرات بر اساس نقشه ۱/۱۰۰۰۰ هشت‌جین (فریدی و انوری، ۱۳۸۳). رگه و رگچه‌های گلوجه شمالی (N Glojeh) و رگه و رگچه‌های گلوجه شمالی (S Glojeh) بر روی نقشه مشخص شده است



شکل ۴. واحدهای زمین‌شناسی و موقعیت رگه‌های کانه‌زایی در گلوجه شمالی (N Glojeh) و گلوجه جنوبی (S Glojeh)

حرارت‌سنگی و هاله‌های دگرسان

برای مطالعات حرارت‌سنگی، پس از مطالعات پتروگرافی، دو نمونه کلریت و یک نمونه سریسیت از پهنه‌های دگرسان به‌وسیله دستگاه الکترون مایکروپرورپ در مرکز تحقیقات فرآوری مواد معدنی ایران مورد تجزیه نقطه‌ای قرار گرفت. برای به دست آوردن درجه حرارت تشکیل کلریت از نمودار تصحیح شده (Chathelina, 1988) استفاده شده است. فرمول کلی کلریت به صورت

$$(Mg, Fe^{2+}, Fe^{3+}, Mn, Al)_6(Si, Al)_4 O_{10})(OH)_8$$

است. اساس این روش براین مطلب استوار است که جانشینی آلومینیوم در موقعیت تتراهدری (Al^{IV}) با سیلیسیم تابع تغییرات دما است. بنابراین قطب غنی از آلومینیوم در محلول جامد کلریت می‌تواند به عنوان یک حرارت‌سنگ استفاده شود (Chathelina, 1988; Chathelina and Nieva, 1985) به همین منظور ابتدا کلریت و سریسیت توسط مایکروپرورپ

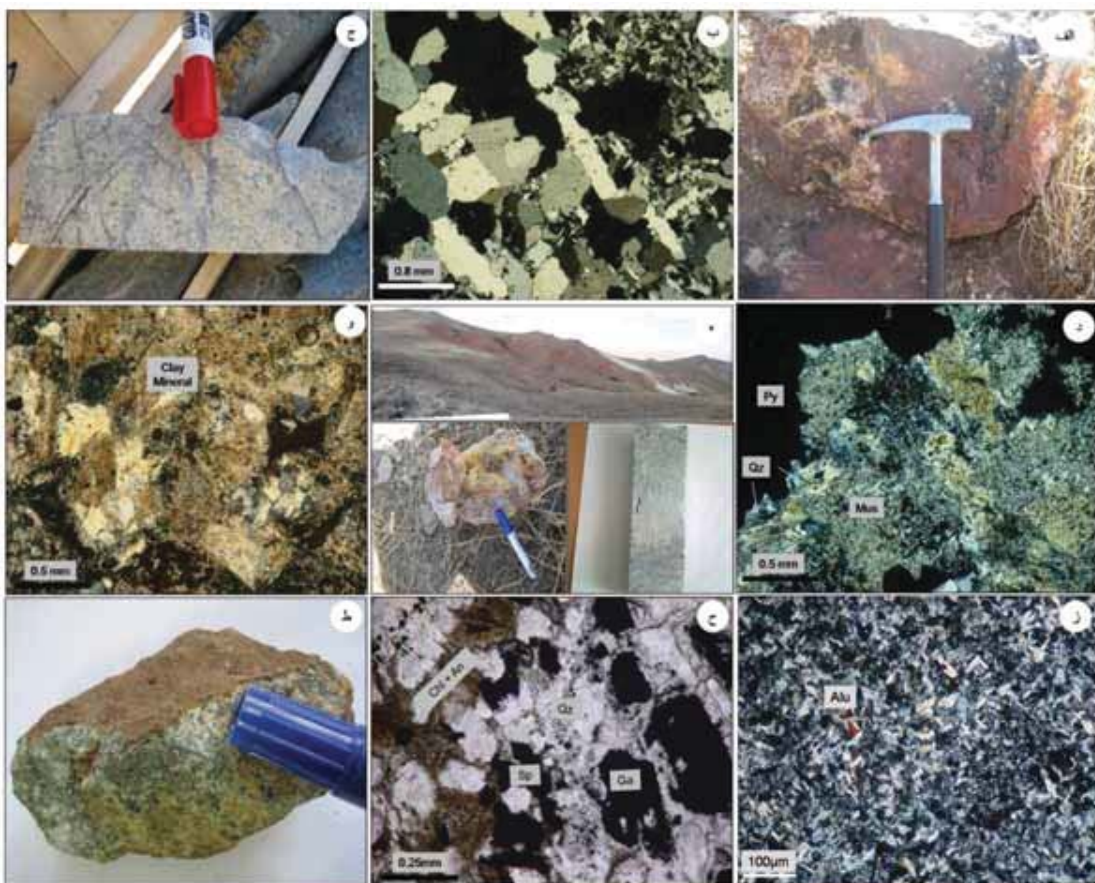


شکل ۵. تصاویر صحرایی از منطقه‌بندی پهنه‌های دگرسانی در اطراف رگه‌های معدنی گلوجه که از داخل به خارج شامل پهنه سیلیسی، پهنه سریسیتی، پهنه آرزیلیک و پهنه پروپیلیتی است. (الف و ج) تغییر رنگ در هر یک از پهنه‌های دگرسانی مشخص است، (ب) پهنه گسترده دگرسانی آرزیلیک و (د) پهنه دگرسانی سریسیت را نشان داده است

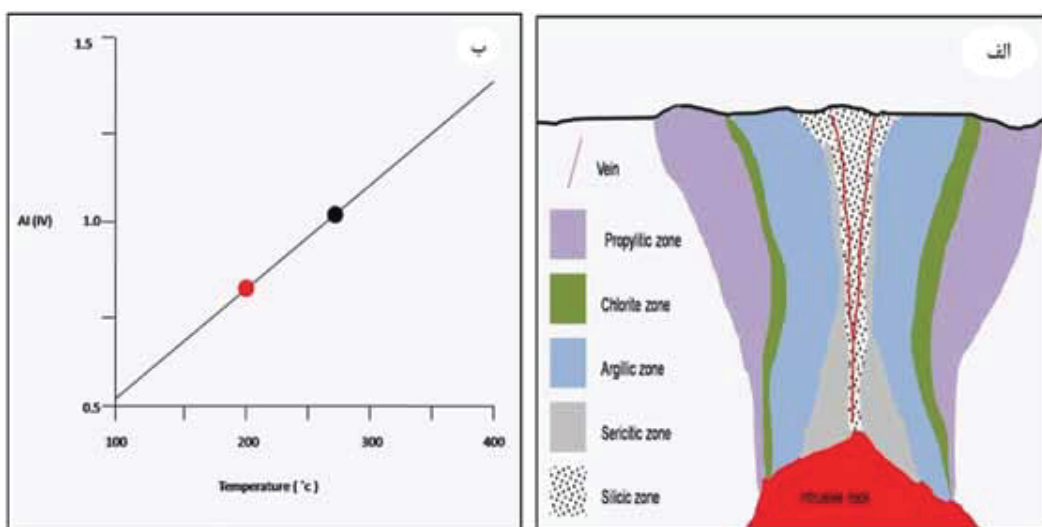
تشکیل کلریت به دست می‌آید (شکل ۷-ب). با توجه به شکل ۷-ب درجه حرارت تشکیل پهنه کلریتی (مرز بین پهنه آرزیلیک حدوساط و پروپیلیتیک) به طور میانگین ۲۷۵ درجه سانتی‌گراد (۲۶۵ تا ۲۸۰ درجه سانتی‌گراد) و پهنه پروپیلیتیک ۲۰۰ درجه سانتی‌گراد (۱۹۰ تا ۲۰۵ درجه سانتی‌گراد) به دست آمد. مقدار آهن و پتاسیم سریسیت نیز با افزایش دما رابطه مستقیم و مقدار منیزیم رابطه عکس دارد (Chathelina and Nieva, 1985). با استفاده از این مقادیر دمای تشکیل سریسیت در رگه‌های منطقه گلوجه (گلوجه شمالی) ۲۹۵ درجه سانتی‌گراد به دست آمد.

تجزیه نقطه‌ای شد و پس از مشخص شدن درصد اکسیدهای اصلی با استفاده از نرم‌افزارهای پترولوژی فرمول ایدهآل کلریت ساخته شد و مازاد آلومینیوم مصرف شده در فرمول کلریت به صورت آلومینیوم تراهدری (Al^{IV}) در نظر گرفته شد (جدول ۱). سپس از نمودارهای الگو ارائه شده توسط (Chathelina, 1988) استفاده شد.

ابتدا محل نمونه‌ها با توجه به مقادیر Al^{IV} در محور قائم این نمودار مشخص می‌شود؛ سپس این نقاط با خطوط افقی به خطی که در نمودار (ارائه شده به‌وسیله Chathelina, 1988) رسم شده، وصل می‌شود و دمای



شکل ۶. تصاویر میکروسکوپی و نمونه دستی از دگرسانی‌های اطراف رگه‌های منطقه معدنی گلوچه، الف) رگه سیلیسی شده همراه با آغشته‌گاهی اکسید و هیدرواکسید آهن، ب) کوارتزهای قشری مهم‌ترین کانی در دگرسانی سیلیسی هستند، ج) نمونه دستی از دگرسانی نخودی رنگ سریسیت را نشان داده است، د) دگرسانی سریسیتی مشکل از موسکوبیت (Ms)، کوارتز (Qz)، پیریت (Py)، م) پهنه دگرسانی آرژیلیک را نشان داده است که از رنگ سفید تا کرم روشن (آرژیلی حدواسط) تا قرمز رنگ (آرژیلی بیشورفت) متغیر است، و) کانی‌های رسی (بهخصوص کائولینیت) مهم‌ترین کانی‌های دگرسانی آرژیلیک حدواسط هستند، ز) آلونیت در زون آرژیلیک پیشرفته، ح) کانه‌زایی سرب و روی همراه با دگرسانی کلریتی و ط) نمونه دستی از دگرسانی پروپیلیتیک به رنگ سبز را نشان داده است



شکل ۷. الف) مدل شماتیک از منطقه‌بندی پهنه‌های دگرسانی در اطراف رگه‌های گلوچه (گلوچه شمالی) (فاقد مقیاس)، ب) موقعیت کلریت پهنه پروپیلیتیک (دایره قرمز) و کلریت پهنه کلریتی (دایره سیاه) و دماهای به دست آمده در نمودار ارائه شده توسط (Chatelina, 1988) که به ترتیب دمای میانگین ۲۰۰ و ۲۷۵ درجه سانتی‌گراد را دارد

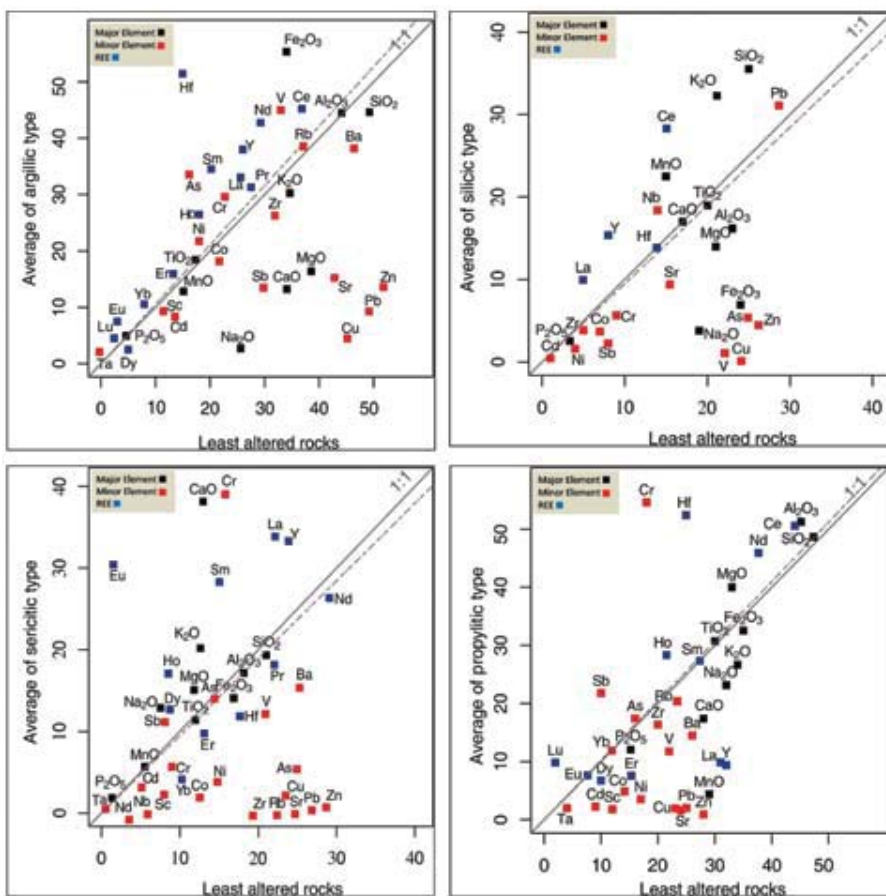
جدول ۱. محاسبه آلمینینیم تراهدری (AlIV) با استفاده از نتایج مایکروپرور در کلریت و سریسیت (کلریت یک از پهنه کلریتی و کلریت دو از پهنه پروپیلیتیک است)

نمونه	Si (IV)	Al (VI)	Al (IV)	Fe^{2+}	Fe^{2+}
کلریت یک	۲/۹۷	۱/۱۶	۱/۰۳	۱/۴۹	۳/۲۷
کلریت دو	۳/۱۱	۱/۳۸	۰/۸۹	۱/۱۴	۳/۲۳
سریسیت	۳/۱۲	۱/۷۹	۰/۸۷	۰/۱۶	۰/۰۸

کوارتز مهم‌ترین کانی است و در نتیجه مقدار سیلیس در این پهنه غنی‌شدنی نشان داده است. وجود موسکوویت ریزلور همراه با این پهنه باعث شده که اکسیدپتاسیم هم غنی‌شدنی نشان دهد. علی‌رغم وجود کانی آناتاز، مقدار اکسید تیتانیوم نزدیک خط یک قرار گرفته است. در دگرسانی سیلیسی، سرب غنی‌شدنی دارد، درحالی‌که مس و روی تهی‌شدنی پیدا کرده‌اند که این احتمالاً به دلیل بالا بودن مقدار سرب در سنگ میزان کانی‌سازی است. عناصر نادر خاکی سبک در دگرسانی سیلیسی غنی‌شدنی نشان می‌دهند.

ژئوشیمی هاله‌های دگرسان

برای مطالعات ژئوشیمی هاله‌های دگرسان تغییرات عناصر را در سنگ‌های دگرسان شده نسبت به سنگ‌های غیردگرسان در هر پهنه بررسی کرده و غنی‌شدنی یا تهی‌شدنی^۱ عناصر مورد بررسی قرار گرفته است (جدول ۲ و شکل ۸). ترکیب سنگ دگرسان با هم از غیردگرسان آن با تغییرات شدید جرم و حجم ممکن خواهد بود که مقایسه مستقیم آنها توسط محققان مختلفی بهویژه (Grant 1986) مورد بررسی قرار گرفته است. در دگرسانی سیلیسی، کانی



شکل ۸. نمودار مقایسه ژئوشیمیابی اکسیدهای اصلی، عناصر فرعی و عناصر نادر خاکی در میانگین سنگ‌های دگرسان شده در مقابل سنگ دگرسان نشده (دگرسانی ناچیز) در پهنه‌های دگرسان منطقه گلوجه

1. Gain

2. Loss

جدول ۲. نتایج تجزیه شیمیابی نمونه‌های دگرسان و سنگ‌های آذرین گلوجه به روش ICP-OES و اکسیدهای اصلی به روش XRF در آزمایشگاه دانشگاه خوارزمی

sample	G1 Gis-Ts- 26c	G2 Gis-Ts- 103	G3 Gis-Ts- 25b	G4 Gis-Ts- Bh3-30	G5 Gis-Ts- BL2	G6 Gis-R- 03	G7 Gis-R- 02	G8 Gis-R- 01	G9 Gis-Ts- 01	G10 Gis-Ts- 02	G11 Gis-Ts- 03	G12 D-Ro- 21	G13 Gis-Ts- A	G14 Gis-Ts- H11
	Altered rocks	Altered rocks	Altered rocks	Altered rocks	Altered rocks	Altered rocks	Altered rocks	Altered rocks	Altered rocks	Altered rocks	Altered rocks	Altered rocks	Altered rocks	Andesite lithic
SiO ₂ (wt%)	47.97	55.75	53.91	50.70	53.02	50.70	50.70	50.70	50.70	50.70	50.70	50.70	50.70	50.70
TiO ₂	0.37	0.73	0.45	0.93	0.97	0.73	0.97	0.97	0.97	0.97	0.97	0.97	0.97	0.97
Al ₂ O ₃	12.70	19.50	17.45	10.75	10.50	10.50	10.50	10.50	10.50	10.50	10.50	10.50	10.50	10.50
Fe ₂ O ₃ (tot)	7.15	7.50	7.25	7.70	12.00	7.70	7.70	7.70	7.70	7.70	7.70	7.70	7.70	7.70
MnO	0.05	0.05	0.05	0.12	0.10	0.10	0.10	0.10	0.10	0.10	0.10	0.10	0.10	0.10
MgO	7.10	6.10	1.50	3.00	0.70	0.50	0.70	0.50	0.50	0.70	0.70	0.70	0.70	0.70
CaO	7.10	8.00	8.75	6.70	7.70	7.70	7.70	7.70	7.70	7.70	7.70	7.70	7.70	7.70
Na ₂ O	0.10	0.12	0.10	0.11	0.10	0.10	0.10	0.10	0.10	0.10	0.10	0.10	0.10	0.10
K ₂ O	7.81	7.80	7.75	7.80	7.70	7.70	7.70	7.70	7.70	7.70	7.70	7.70	7.70	7.70
P ₂ O ₅	0.17	0.18	0.17	0.17	0.18	0.17	0.17	0.17	0.17	0.17	0.17	0.17	0.17	0.17
LOI	8.00	7.00	8.75	9.00	10.00	10.00	10.00	10.00	10.00	10.00	10.00	10.00	10.00	10.00
Total	55.49	55.72	55.75	55.75	55.75	55.75	55.75	55.75	55.75	55.75	55.75	55.75	55.75	55.75
Ppm														
Ag	>	>	>	>	>	>	>	>	>	>	>	>	>	>
As	7.6	7.8	9.1	7.7	7.7	7.7	7.7	7.7	7.7	7.7	7.7	7.7	7.7	7.7
Ba	0.7	0.7	0.7	1.1	0.7	0.7	0.7	0.7	0.7	0.7	0.7	0.7	0.7	0.7
Be	1.7	1.7	1.7	1.7	1.7	1.7	1.7	1.7	1.7	1.7	1.7	1.7	1.7	1.7
Bi	0.7	0.7	0.7	0.7	0.7	0.7	0.7	0.7	0.7	0.7	0.7	0.7	0.7	0.7
Cr	3.6	3.7	9.2	3.7	3.7	7.7	7.7	7.7	7.7	7.7	7.7	7.7	7.7	7.7
Co	2.9	2.4	1.1	2.9	2.9	2.9	2.9	2.9	2.9	2.9	2.9	2.9	2.9	2.9
Ni	2.6	2.2	2.0	2.0	1.17	1.0	0.70	0.70	0.70	0.70	0.70	0.70	0.70	0.70
Sb	1.6	1.9	4.9	7.9	7.0	7.0	7.0	7.0	7.0	7.0	7.0	7.0	7.0	7.0
Sc	2.2	1.2	1.2	6	1.5	0.7	0.7	1.1	1.1	1.1	1.1	1.1	1.1	1.1
Sr	7.1	3	22.4	9.9	4.1	1.5	1.5	1.5	1.5	1.5	1.5	1.5	1.5	1.5
Zn	10.81	9.25	8.7	5.82	5.9	1.7	1.7	1.7	1.7	1.7	1.7	1.7	1.7	1.7
Pb	7.25	8.11	7.57	4.4	1.7	1.7	1.7	1.7	1.7	1.7	1.7	1.7	1.7	1.7
Cd	0.7	1	1	1.7	1.7	1.7	1.7	1.7	1.7	1.7	1.7	1.7	1.7	1.7
V	1.65	1.65	1.65	1.65	1.65	1.65	1.65	1.65	1.65	1.65	1.65	1.65	1.65	1.65
Y	1.9	1	1.0	2.0	1.0	0.70	0.70	0.70	0.70	0.70	0.70	0.70	0.70	0.70
Cu	1.7	2	1.7	3	1.7	0.7	0.7	0.7	0.7	0.7	0.7	0.7	0.7	0.7
Mn	2.75	2.61	2.69	5.92	1.77	7.7	7.7	7.7	7.7	7.7	7.7	7.7	7.7	7.7
Mo	>	>	>	>	>	>	>	>	>	>	>	>	>	>
Li	7.1	7.1	7.7	7.1	7.1	1.8	1.8	1.8	1.8	1.8	1.8	1.8	1.8	1.8
La	1.6	1	1.1	3	1.9	7	1.9	1.9	1.9	1.9	1.9	1.9	1.9	1.9
Ce	4.1	7.7	2.4	1.8	7.7	7.7	7.7	7.7	7.7	7.7	7.7	7.7	7.7	7.7
Sm	0	1.7	4	7	7	1	7	7	7	7	7	7	7	7
Eu	1	1.7	1	1.7	1	1.7	1.7	1.7	1.7	1.7	1.7	1.7	1.7	1.7
Hf	1.7	1.7	1.6	1.6	1.6	1.6	1.6	1.6	1.6	1.6	1.6	1.6	1.6	1.6
SiO ₂ (wt%)	57.00	57.72	50.12	57.00	57.42	57.00	57.00	57.00	57.00	57.00	57.00	57.00	57.00	57.00
TiO ₂	0.47	0.58	0.48	0.75	0.48	0.48	0.48	0.48	0.48	0.48	0.48	0.48	0.48	0.48
Al ₂ O ₃	11.00	12.95	12.50	9.70	12.00	12.00	12.00	12.00	12.00	12.00	12.00	12.00	12.00	12.00
Fe ₂ O ₃ (tot)	7.15	10.20	7.15	7.70	7.70	7.70	7.70	7.70	7.70	7.70	7.70	7.70	7.70	7.70
MnO	0.05	0.11	0.08	0.10	0.07	0.07	0.07	0.07	0.07	0.07	0.07	0.07	0.07	0.07
MgO	0.10	0.10	0.10	0.10	0.10	0.10	0.10	0.10	0.10	0.10	0.10	0.10	0.10	0.10
CaO	0.55	0.75	0.50	0.50	0.50	0.50	0.50	0.50	0.50	0.50	0.50	0.50	0.50	0.50
Na ₂ O	0.10	0.10	0.10	0.10	0.05	0.05	0.05	0.05	0.05	0.05	0.05	0.05	0.05	0.05
K ₂ O	2.10	2.00	2.10	2.10	2.00	2.00	2.00	2.00	2.00	2.00	2.00	2.00	2.00	2.00
P ₂ O ₅	0.13	0.12	0.12	0.10	0.10	0.10	0.10	0.10	0.10	0.10	0.10	0.10	0.10	0.10
LOI	7.00	7.00	7.00	7.00	7.00	7.00	7.00	7.00	7.00	7.00	7.00	7.00	7.00	7.00
Total	100.00	100.00	100.00	99.97	98.97	99.00	99.00	99.00	99.00	99.00	99.00	99.00	99.00	99.00

ادامه جدول ۲

Sample	G15 G11-Hr-14	G16 G14-04	G17 G12-02	G18 G11-HR-09	G19 G14-01	G20 Gls-Ts-H15	G21 Go-Dy-08	G22 Go-gr-12	G23 Va-gr-19	G24 Go-gr-12	G25 Va-gr-19	G26 Gls-Ts-24A
	Akashrocks	Andesite basalt	Andesite	Andesite	Andesite	Tioly-sedistic	Granite	Granite	Granite	Granite	Granite	Akashrocks
Ppm												
Ag	1>	1>	1>	11	8	1>	1>	1>	1>	1>	1>	1>
As	14	124	104	48	44	24	44	5	5	83	13	222
Ba	5>	5>	5>	5>	5>	5>	10	5>	5>	5>	5>	8
Be	1>	1>	1>	4	1>	1>	1>	4	4	1>	1>	1>
Bi	2>	2>	2>	7	2>	2>	2>	2>	2>	2>	2>	5>
Cr	23	97	116	22	30	95	28	51	48	57	28	104
Co	11	15	24	17	26	26	16	12	12	22	12	23
Ni	5>	11	25	5>	20	22	5>	5>	5>	18	5	193
Sh	12	18	21	53	15	12	5>	5>	5>	23	5>	165732
Sc	8	12	18	6	15	18	5	5	5	20	5	2
Sr	90	17	58	75	222	192	129	114	227	29	184	182
Zn	4.4	2816	117	4122	5703	298	113	66	22	1211	25	59
Pb	174	992	15	1282	986	118	10>	21	19	268	20	47
Cd	1>	2	1>	1>	4	1>	1>	1>	1>	9	1>	1
V	42	222	228	42	172	210	74	47	22	169	36	47
Y	12	5>	19	5>	16	11	8	8	12	13	5>	5>
Cu	13	231	237	288	142	14	5>	21	5>	2>	5>	23
Mn	220	557	4082	566	4802	2209	1279	402	272	2228	264	193
Mo	1>	1>	1>	1>	1>	1>	1>	1>	1>	1>	1>	1>
Li	22	44	27	59	51	53	54	22	22	15	5	22
La	22	5	25	20	21	22	13	13	22	15	5	8
Ce	22	14	25	25	46	22	28	22	49	36	22	21
Sm	5	1>	6	7	4	1	2	2	1>	6	2	2
Eu	1	1>	9	1>	1	1>	1>	1>	1>	1	1>	1>
Hf	9	9	11	7	12	10	10	6	7	11	6	6

زئوژیمیابی روپیدیم با عنصر پتاسیم است. افزایش روپیدیم در دگرسانی سریسیتی نیز به دلیل افزایش پتاسیم رخ داده است. در دگرسانی پروپلیتی، اکسیدهای منیزیم و آهن به دلیل افزایش کانی کلریت غنی‌شدگی داشته و اکسید سدیم و پتاسیم به دلیل وجود جاروسیت و ناتروجاروسیت غنی‌شدگی نشان داده است. تهی‌شدگی اکسید منگنز در پهنه پروپلیتیک رخ داده است. مقداری عنصر استرانسیم و باریم در اغلب دگرسانی‌ها کاهش نشان می‌دهد که به دلیل خارج شدن این دو عنصر توسط محلول‌های گرمابی از شبکه کانی‌ها است. کاهش استرانسیم در نمونه‌های دگرسان شده نسبت به عنصر باریم بیشتر است.

کانه‌زایی

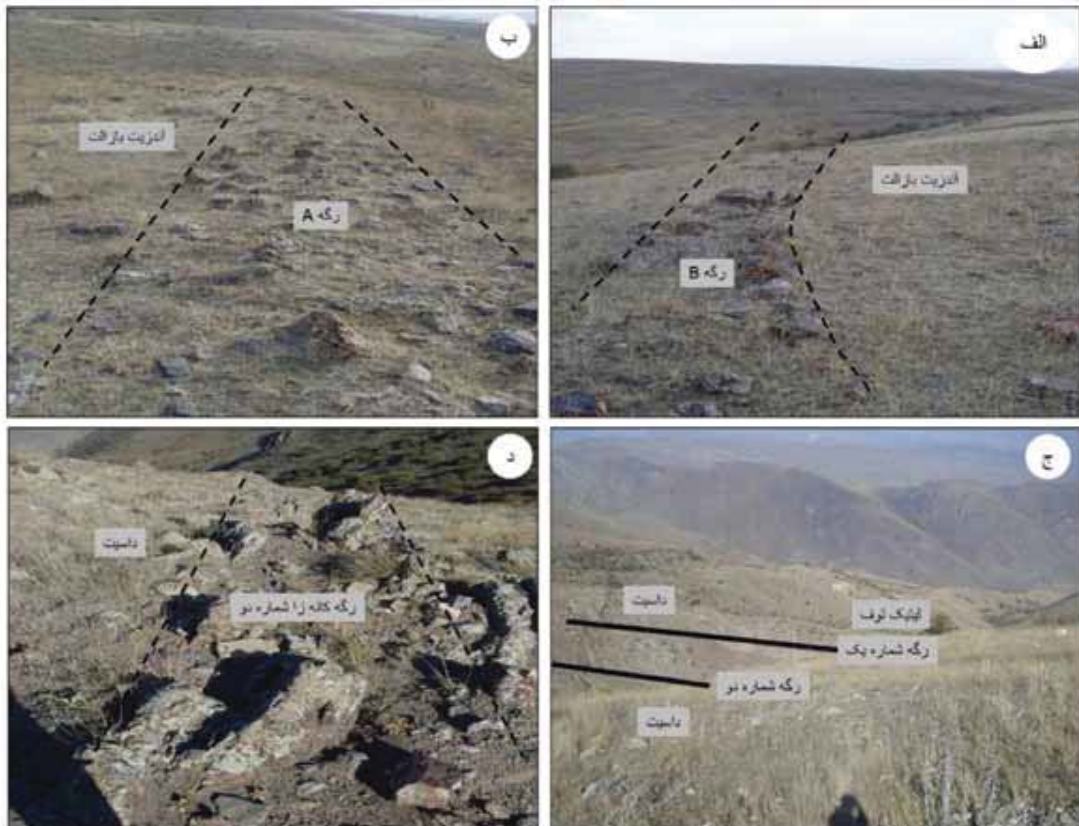
کانه‌زایی در گلوجه به صورت کانه‌زایی سرب، روی، مس، طلا، نقره و مقدار قابل توجهی بیسموت و کادمیم است. کانه‌زایی در گلوجه جنوبی شامل دو رگه اصلی A و B است

در دگرسانی آرژیلیکی، اکسیدهای کلسیم، سدیم، فسفر و منگنز بر اثر فروشست این عناصر، کاهش شدیدی نشان می‌دهند. در دگرسانی آرژیلیک پیشرفت به دلیل وجود کانی آلونیت و کوارتز، مقدار اکسیدهای سیلیسیوم، پتاسیم و آلومنیوم غنی‌شدگی نشان داده است. غنی‌شدگی اکسید آهن در این پهنه احتمالاً به دلیل وجود کانی کلریت در دگرسانی آرژیلیک است. در دگرسانی آرژیلیک پیشرفت، عناصر نادرخاکی سبک تهی‌شدگی و عناصر نادرخاکی سنگین، غنی‌شدگی نشان می‌دهند. عناصر فلزی مانند سرب، مس و روی در دگرسانی آرژیلیک پیشرفت و حدوداً تهی‌شدگی نشان می‌دهند که علت آن تجمع عناصر مذکور در رگه‌های کانی‌سازی و تهی‌شدگی آنها در سنگ دگرسان شده می‌باشد. در دگرسانی سریسیتی، مقدار اکسید پتاسیم به دلیل تشکیل سریسیت و سریسیتی شدن پلاژیوکلاز افزایش نشان می‌دهد. تغییرات روپیدیم با اکسید پتاسیم رابطه مستقیم دارد و این مساله نشانگر تشابه خصوصیات

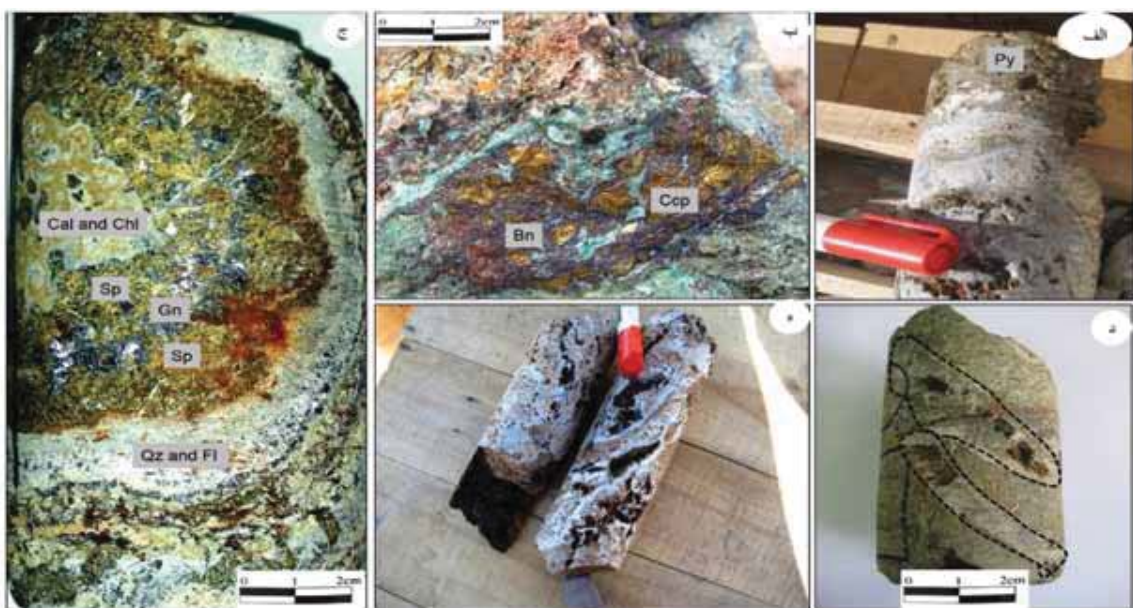
بیشتر کوارتز، کلسیت، فلوریت و سیلیکات‌ها و کربنات‌های منگنزدار می‌باشند. رگه‌های گلوچه شمالی و جنوبی در ۴۰ متر بالای خود متحمل پدیده‌های سوپرژن و هوازدگی شده‌اند که کانی‌های سوپرژن در آنها تشکیل شده است. عیار میانگین طلا و نقره برابر $2/10$ و 420 گرم در تن در گلوچه شمالی و $2/90$ و 73 گرم در تن در گلوچه جنوبی است. بر اساس روابط بین رگه‌ها و کانی‌ها نسبت به یکدیگر، توالی پاراژنزی کانسار گلوچه رسم شده است. توالی پاراژنزی در کانسار گلوچه به سه مرحله تقسیم می‌شود (شکل ۱۲).

مرحله اول: مرحله اول به دو زیرمرحله تقسیم شده است. زیرمرحله ۱A با تنه‌شینی کوارتز به صورت توده‌ای و ووگی شروع می‌شود. پیریت نیز به صورت توده‌ای و خودشکل همراه با مگنتیت در این مرحله تشکیل شده است (شکل ۱۳-الف). بلورهای پیریت خردشده و کانه‌های سولفیدی مرحله بعد (اسفالاریت-کالکوپیریت-گالن) در شکستگی‌های پیریت جانشین شده است.

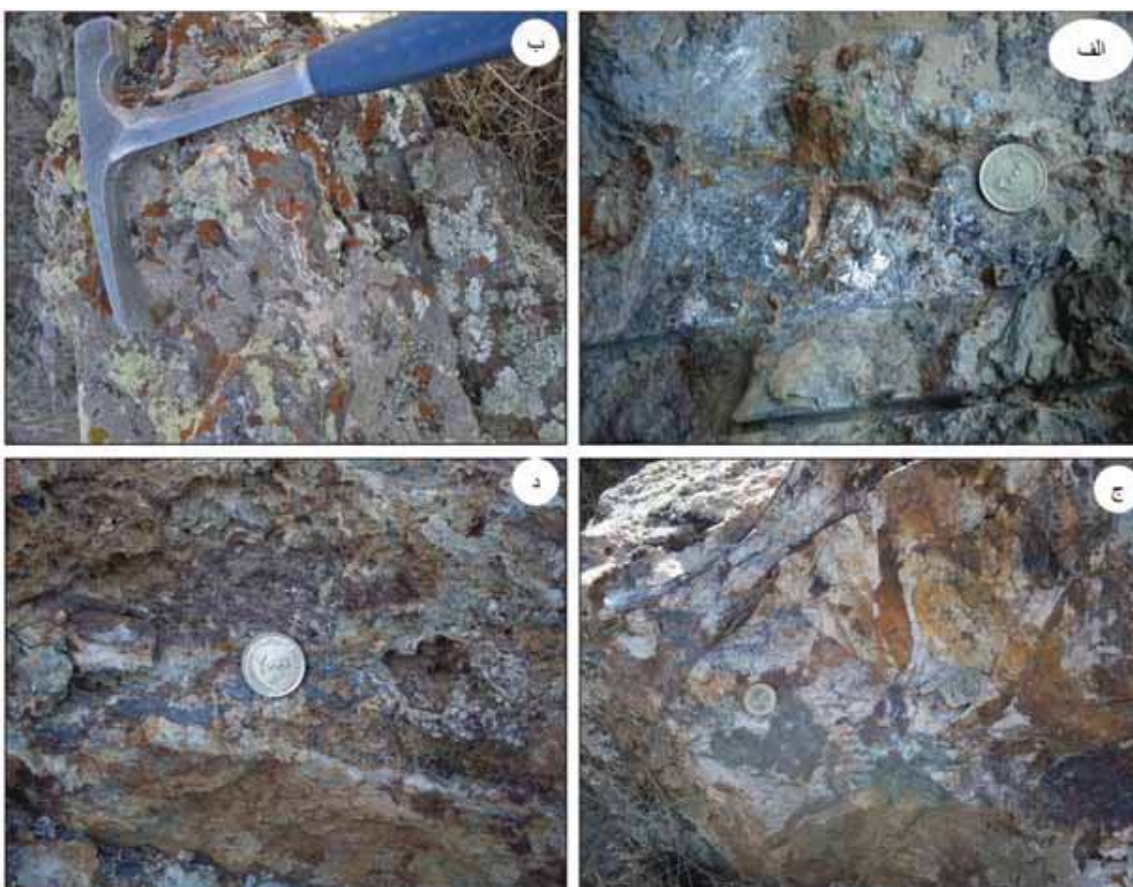
که جهت این دو رگه با هم متفاوت است (شکل ۹-الف و ب). رگه A با امتداد شمال شرق-جنوب غرب (تقریباً شمالی-جنوبی) و رگه B دارای امتداد شمال غرب-جنوب شرق است. گلوچه شمالی از دو رگه اصلی تقریباً موازی و چندین رگه فرعی در راستای غربی-شرقی دارد (شکل ۹-ج و د). کانه‌زایی در گلوچه جنوبی نیز از فلزات پایه و گرانبهای تشکیل شده و نسبت به گلوچه شمالی مقادیر کمتری نقره تشکیل شده است. کانه‌زایی در گلوچه به صورت توده‌ای (بیش از ۴۰ درصد) (شکل ۱۰-الف)، برشی (شکل ۱۰-ب)، باندهای قشری تقریباً متقارن (شکل ۱۰-ج)، رگه و رگچه (شکل ۱۰-د) و پرکننده فضای خالی (شکل ۱۰-ه) است. بافت‌های کلوفرم، جانشینی، استوک ورک و لایه‌ای نیز به مقدار کمتر در رگه‌ها دیده شده است (شکل ۱۱). کانه‌های اصلی در گلوچه شامل گالن، اسفالاریت، کالکوپیریت، بورونویت، کالکوسیت، کوولیت، کانی‌های سولفوسالتی، انارزیت، فامااتینیت، تراهدریت، گرینوکیت، تنانتیت، کانه‌های بیسموتدار و کانه‌های فلزات گرانبهای است. کانه‌های باطله



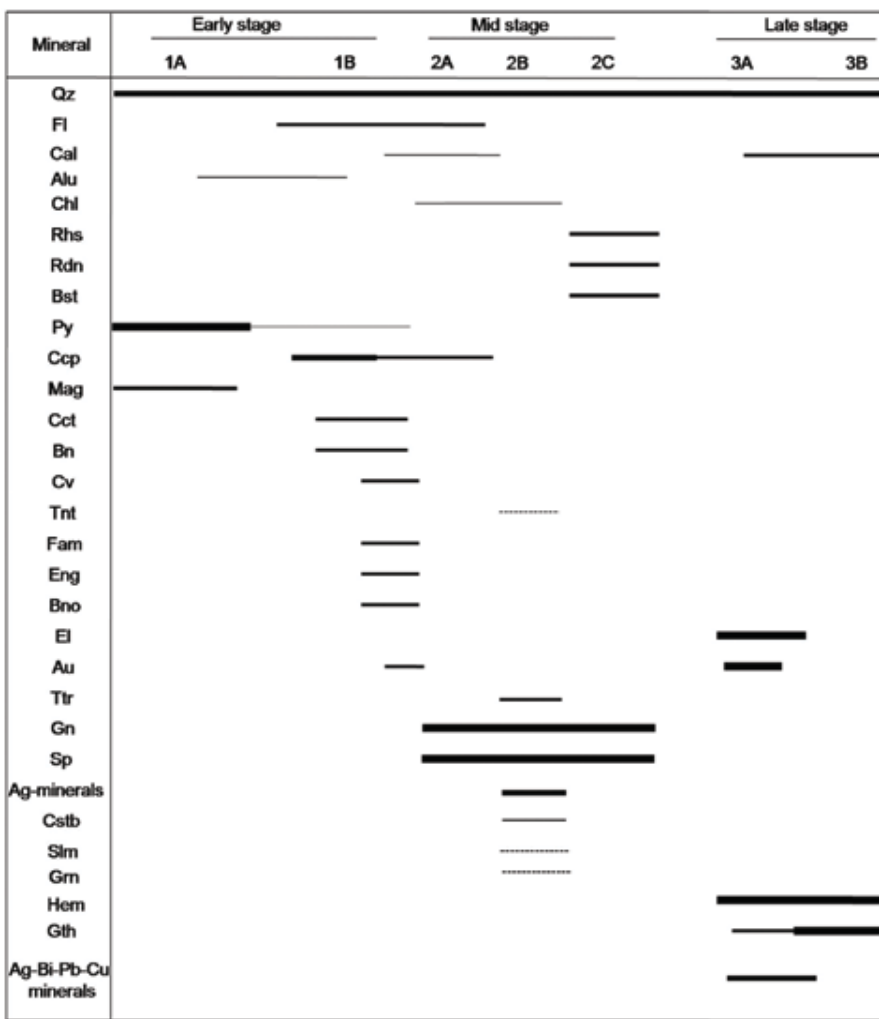
شکل ۹. تصاویر صحرايی از رگه‌های کانه‌زا، الف و ب) گلوچه جنوبی، ج و د) گلوچه شمالی



شکل ۱۰. انواع ساخت و بافت‌های کانه‌زایی در رگه‌های گلوجه، الف) توده‌ای، ب) برشی و جانشینی، ج) باندی کراستیفرم تقریباً متقاضن، د) رگه و رگچه‌ای و پرکننده‌ی فضای خالی در کوارتزهای حفره‌ای. برای علایم اختصاری کانی‌ها به شکل ۱۲ مراجعه کنید



شکل ۱۱. تصاویر صحرایی از انواع ساخت در منطقه گلوجه، الف) ساخت توده‌ای سرب و روی، ب) کلوفرم، ج) ساخت جانشینی کانی‌های حاوی مس و د) ساخت لایه‌ای گالن

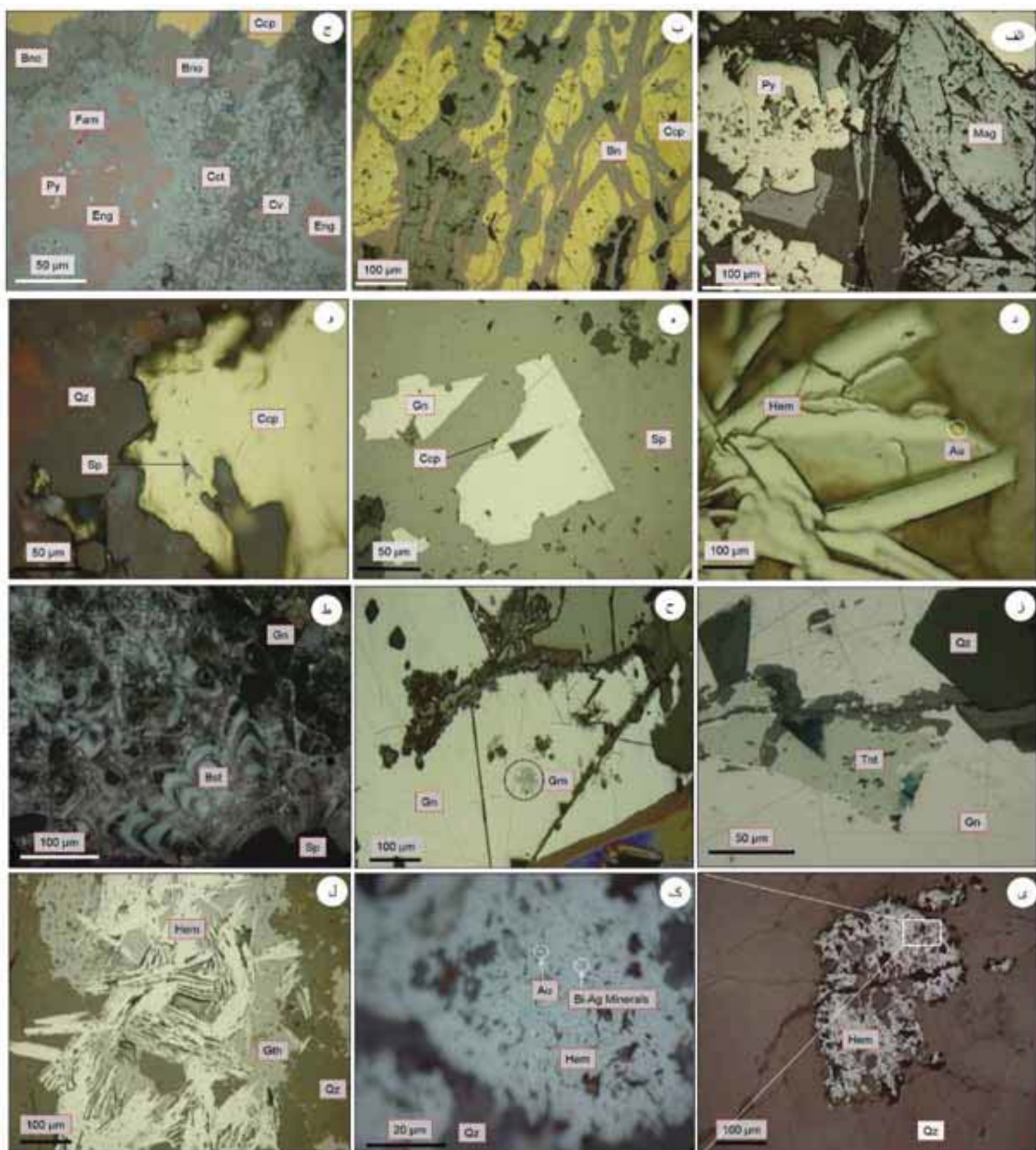


شکل ۱۲. توالی پاراژنی در کانسار گلوجه. برای علامت اختصاری کوارتز (Qz)، فلوریت (Fl)، کلسیت (Cal)، آلونیت (Alu)، کلریت (Chl)، رودوکروزیت (Rhs)، رودونیت (Rdn)، بوساتمیت (Bst)، پیریت (Py)، کالکوپیریت (Ccp)، مگنتیت (Mag)، کالکوسیت (Cct)، بورنیت (Bn)، کولین (Cv)، تنانیت (Tnt)، فاماتینیت (Fam)، اناڑیت (Eng)، بورنونیت (Bno)، الکتروم (El)، طلا (Au)، تترادریت (Ttr)، گالن (Gn)، اسفالریت (Sp)، کالکواستیبینیت (Cstb)، سلیگمانیت (Slm)، گرینوکیت (Grn)، هماتیت (Hem) و گوتیت (Gth). لازم به ذکر است که علایم اختصاری بر اساس مقاله (Whitney and Evans, 2010) است

از کانی‌های شاخص کانسارهای ابی‌ترمال با سولفیدی شدن بالا، در این زیرمرحله تشکیل شده است. پلی‌مورف دمایی پایین اناڑیت، یعنی لوزونیت، تشکیل نشده است. کانه‌زایی طلا به صورت ادخال در هماتیت (اسپیکیولاریت) تشکیل شده است (شکل ۱۳-د).

مرحله دوم (مرحله میانی): بر اساس روابط بافتی کانی‌ها، می‌توان این مرحله رابه سه زیرمرحله تقسیم کرد. زیرمرحله 2A که از نوارهای متقارن می‌باشد، تشکیل شده است (شکل ۱۰-ج). ارتباط کانه‌ها به صورتی است که نمی‌توان تقدم و تأخیر را در تشکیل آنها مشخص کرد و کانی‌ها به صورت همزمان در این

زیرمرحله 1B با تجمع کانی‌های سولفیدی مس، آرسنیک، طلا، آنتیموان و آهن شناخته می‌شود. در این زیرمرحله ابتدا کالکوپیریت به صورت عدسی‌های برشی (شکل ۱۰-ب) و توده‌ای تشکیل شده و در ادامه بورنیت و کالکوسیت تشکیل شده‌اند (شکل ۱۳-ب). کانی‌های فاماتینیت، بورنونیت و اناڑیت به همراه کالکوسیت و کولیت در اطراف کانی کالکوپیریت تشکیل شده‌اند (شکل ۱۳-ج). کوارتز و فلوریت مهم‌ترین گانگ در این زیرمرحله است. پیریت نیز در این زیرمرحله تشکیل شده است اما نسبت به زیرمرحله 1A از حجم کمتری برخوردار بوده است. اناڑیت



شکل ۱۳. تصاویر میکروسکوپی انعکاسی از مراحل کانه‌زایی، (الف) کانه‌زایی پیریت و مگنتیت توده‌ای در زیرمرحله ۱A، (ب) کانه‌زایی مس در زیرمرحله ۱B، (ج) کانه‌های انارزیت، فاماتینیت و بورونیت همراه با کالکوپیریت در زیرمرحله ۱B، (د) طلا به صورت ادخال در هماتیت (اسپیکیولاریت) در زیرمرحله ۱B مشاهده شده است، (ه) ادخال کالکوپیریت در اسفالریت و گالن در زیرمرحله ۲B مشاهده شده است، کانه‌زایی گالن، کالکوپیریت و اسفالریت در مرحله ۲A، (و) ادخال اسفالریت در کالکوپیریت، (ز) کانه‌زایی نقره با سرب و روی در زیرمرحله ۲B، ادخال گرینوکیت در گالن در زیرمرحله ۲B، (ط) کانه‌زایی سرب و روی با کربنات منگنز در زیر مرحله ۲C، (ی و ک) کانه‌زایی فلزات گرانبهای به صورت ادخال در هماتیت زیرمرحله ۳A و (ل) کانه‌زایی گوتیت و هماتیت بدون ادخال کانی‌های گرانبهای در زیر مرحله ۳B. برای عالیم اختصاری به شکل ۱۲ مراجعه شود

مرحله شامل ماتیلیدیت، گالنوبیسموتینیت، بیسموتینیت، نقره طبیعی، الکتروم، طلای طبیعی، منگینیت، پلی بازیت، ماریت و ایکنیت است. زیر مرحله 3 حاوی کانی سازی هیدروکسیدهای آهن، هماتیت و گوتیت می باشد که فاقد کانی های فلزات گرانبها می باشند (شکل ۱۳-۱).

شیمی کانه ها

کانی سازی گالن در مرحله دوم رخ داده است. از ویژگی های بارز آن تفاوت ترکیب گالن با عمق کانی سازی در هر مرحله است. به طوری که گالن در زیر مرحله 2A در نواحی عمیق تر مقدار آرسنیک بالاتری دارد ($0.5 / 0.2$) درصد) در حالی که با کاهش عمق از مقدار آرسنیک آن کاسته می شود ($0.1 / 0.0$ درصد). محتوای کادمیم در گالن های سطحی ($0.3 / 0.0$ درصد)، بیشتر از نسبت آن در گالن عمیق وجود ادخال های کانی های سولفوسالت در گالن است. 2B از مهم ترین کانی های سولفوسالت مشاهده شده در گالن می توان به تراهدریت، تنانیت، سلیگمانیت، تراهدریت روی دار (شکل ۱۴-و)، تراهدریت نقره دار (شکل ۱۴-الف)، آرژانتیت، نقره خالص (شکل ۱۴-ج)، کالکو استینیت (شکل ۱۴-ه) و گرینوکیت (شکل ۱۴-ب) اشاره کرد. گالن در زیر مرحله 2C نسبت به مرحله 2A آرسنیک و کادمیم کمتری دارد (جدول ۳). اسفالریت در گلوچه در مرحله دوم کانی سازی تشكیل شده است. از ویژگی های بارز ترکیب اسفالریت درصد کم آهن در ترکیب آن است. اسفالریت در عمق های بیشتر دارای میانگین مقدار آهن ($75 / 0.0$ درصد) و در عمق کمتر ($1 / 0.0$ درصد) است. همچنین اسفالریت های زیر مرحله 2C دارای آهن کمتر از $1 / 0$ درصد هستند (جدول ۳). این ترکیب نشان می دهد که در طی توالی پاراژنزی و همچنین با کاهش عمق مقدار آهن، در ترکیب اسفالریت کاهش پیدا می کند. (Vaughan and Craig, 1997) نشان داده اند که مقدار آهن در اسفالریت به فوگاسیتیه گوگرد ارتباط مستقیم دارد و ادخال های کالکوپیریت و پیروتیت در اسفالریت با افزایش آهن در طی افزایش فوگاسیتیه گوگرد افزایش پیدا می کند. در منطقه گلوچه نیز در زیر مرحله 2A

زیر مرحله تشکیل شده اند. کالکوپیریت هم به صورت ادخال داخل گالن و هم داخل اسفالریت دیده شده است (شکل ۱۳-۵).

وجود ادخال کالکوپیریت داخل اسفالریت به نام بیماری کالکوپیریت نامیده می شود (Barton and Bethke, 1977, Barton et al., 1987; Bente and Doring, 1993, 1995)

گالن نیز هم به صورت ادخال در کالکوپیریت و اسفالریت تشکیل شده، و همچنین اسفالریت به صورت ادخال در کالکوپیریت و گالن تشکیل شده است (شکل ۱۳-و).

زیر مرحله 2B نیز با تشكیل رگه و رگچه های گالن و کوارتز شکل می گیرد که این رگه و رگچه های سولفیدی زیر مرحله 2A را قطع کرده است (شکل ۱۰-ه). از مشخصات بارز این مرحله وجود سولفوسالت های متنوع به صورت ادخال در گالن است (شکل ۱۳-ز). کانی های سولفوسالتی نقره دار در این زیر مرحله شامل تراهدریت، تراهدریت نقره دار، تراهدریت روی دار و آرژانتیت می باشند. همچنین نقره طبیعی در بررسی های الکترون مایکرو بیرون در داخل آرژانتیت یافت شد. کانی سازی نقره بیشتر در این زیر مرحله رخ داده است. همچنین در عمق های بیشتر سلیگمانیت و تنانیت به صورت ادخال در گالن و یا در شکستگی های ریز داخل کوارتز تشکیل شده است. کانی سولفوسالتی کادمیم دار در گلوچه گرینوکیت است (شکل ۱۳-ح). زیر مرحله 2C به وسیله کانی سازی رگچه های نازک گالن و اسفالریت با اکسیدها و کربنات های حاوی منگنز شناخته شده است. در این مرحله، سولفوسالتی در داخل گالن و اسفالریت مشاهده نشده و از لحاظ کانی سازی از نقره تهی شده است. سلیکات های منگنز دار، رودونیت و بوستامیت و کربنات منگنز دار نیز رودوکروزیت است (شکل ۱۳-ط).

مرحله سوم (مرحله نهایی): مرحله سوم به دو زیر مرحله تقسیم می شود. زیر مرحله 3A با کانی سازی هماتیت و گوتیت که میزبان کانی های فلزات گرانبها هستند شناخته می شوند. بیشتر فلزات گرانبها و کانی های بیسموت و نقره دار به صورت ادخال در هماتیت و کوارتز خاکستری (شکل ۱۳-ی) و ک مشاهده شده اند. یک توالی پاراژنتیکی پیچیده در بین کانی های این زیر مرحله شکل گرفته است و تقدم و تأخیر آنها قابل تشخیص نبود اما به نسبت فراوانی کانی های این

محیط نسبتاً احیایی دارد. آرژانتینیت دیگر کانی نقره‌دار در گالن است. در طی مطالعات میکروپریوب، نقره خالص نیز در آرژانتینیت شناسایی شد. الکتروم به صورت ادخال در هماتیت مرحله سوم تشکیل شده است (شکل ۱۴-ز). اندازه ذرات الکتروم از ۱۰ تا ۶۰ میکرون و مقدار نقره آن از ۱۰ تا ۳۰ درصد متغیر است. طلای طبیعی با ابعاد ۱۵ میکرون نیز به همراه الکتروم در مرحله چهارم تشکیل شده که دارای مقدار ۴/۶ تا ۸/۲ درصد نقره است (شکل ۱۴-د). کانه‌های بیسموت‌دار در گلوچه شامل ماتیلیدیت، بیسموتینیت، گالنوبیسموتینیت و آیکینیت هستند (شکل ۱۴-ج و ط). محتوی بیسموت در ماتیلیدیت ۵۴/۰۲ درصد است و مقادیر بالایی سرب هم دارد (دو درصد). مقدار نقره در گالنوبیسموتینیت تا ۵/۵ درصد هم می‌رسد. پلی بازیت یک کانی نقره‌دار با محتوای تا ۳۰/۳ درصد نقره است که مقدار آنتیموان آن نیز به ۳۰ درصد می‌رسد و همچنین مقدار مس بالایی دارد (۲۰ درصد). براساس نظر (Bindi et al., 2007a and b) در صورتی محتوی مس در کانه‌های گروه پیرسیت-پلی بازیت بالا است که سلنیم و تلور در ترکیب آنها وجود نداشته باشد. ماریت-منگینیت و کالکواستینیت نیز در طی مطالعات مایکروپریوب شناسایی و تجزیه شده‌اند.

در عمق، اسفالریت دارای انکلوزیون کالکوپیریت با مقدار آهن تا ۳/۱ درصد مشاهده می‌شود (شکل ۱۳-و). محتوی کادمیم در اسفالریت هم در محدوده بین ۰/۹ تا ۰/۱ درصد است، اگرچه مقدار ۲/۴ درصد هم در یک نمونه گزارش شده است. محتوی کادمیم با کاهش عمق در اسفالریت افزایش نشان می‌دهد. کانه‌زایی پیریت به صورت توده‌ای در مرحله اول و به صورت پراکنده در مرحله دوم رخ داده است. در ابتدا تصور شد که میزبان طلا در گلوچه پیریت است در صورتی که نتایج آنالیزها نشان داد که مقدار طلا در پیریت ناجیز بوده و درصد پیریت با ترکیب پایدار NFeS برابر ۴۷/۶ تا ۴۷/۲ درصد است. ترکیب آنارژیت شبیه به ترکیب استکیومتری آن است. آنارژیت تجزیه‌شده دارای ۱/۰ تا ۰/۸ درصد آنتیموان در ساختار خود است. تنانیت غنی از مس (میانگین ۴۱/۸۲ درصد) بوده و مقادیری نقره (۱ درصد) نیز در آن وجود دارد. کانی‌سازی تتراهدریت به سه فرم تتراهدریت، تتراهدریت نقره‌دار و تتراهدریت روی‌دار تشکیل شده است. تتراهدریت، تتراهدریت نقره‌دار و تتراهدریت روی‌دار به ترتیب دارای میانگین ۱۵-۱۵/۰۶-۴/۰۶ درصد نقره هستند. مقدار سلنیم در این کانی و سولفوسالت‌های دیگر نقره کم است که از نظر (Simon et al., 1997) مقدار کم سلنیم نشان از یک

جدول ۳. نتایج آنالیز مایکروپریوب کانی‌های اوپاک کانسار گلوچه، اعداد داخل پرانتز: تعداد آنالیزها، ND: زیر حد تشخیص، ۱) اسفالریت کم عمق ۲A، ۲) اسفالریت عمیق ۲A، ۳) گالن کم عمق ۲A، ۴) گالن عمیق ۲A، ۵) گالن ۲B، ۶) اسفالریت ۲B، ۷) کالکوپیریت ۱B، ۸) کالکوپیریت، ۹) کولین، ۱۰) آنارژیت، ۱۱) فاماٹنیت، ۱۲) تتراهدریت نقره‌دار، ۱۳) تتراهدریت، ۱۴) آرژانتینیت، ۱۵) آرژانتینیت، ۱۶) سلیگمانیت، ۱۷) کالکوپیریت ۲A، ۱۸) تنانیت، ۱۹) گرینوکیت، ۲۰) منگینیت، ۲۱) بیسموتینیت، ۲۲) الکتروم، ۲۳) طلای خالص، ۲۴) پیریت ۱A، ۲۵) پلی بازیت، ۲۶) پیریت ۱B، ۲۷) ماتیلیدیت، ۲۸) گالنوبیسموتینیت، ۲۹) ماریت، ۳۰) آیکینیت

	۱(۱۰)	۲(۱۰)	۳(۱۰)	۴(۱۰)	۵(۴)	۶(۵)	۷(۵)	۸(۲)	۹(۲)	۱۰(۶)	۱۱(۲)	۱۲(۳)	۱۳(۴)	۱۴(۳)	۱۵(۲)
S	۳۳/۳۷	۳۳/۳۰	۱۰/۵۵	۱۰/۸۷	۱۰/۷۰	۳۳/۳۲	۳۳/۴۵	۲۱/۲۰	۳۱/۳۰	۲۸/۷۰	۲۸/۶۰	۲۴/۰۰	۲۳/۰۰	۲۴/۲۰	۱۲/۰۰
Fe	۰/۱۰	۰/۷۵	۰/۰۱	۰/۰۱	۰/۰۱	۰/۰۸	۳۱/۷۱	۰/۱۰	۰/۱۰	۰/۱۶	۰/۲۵	۰/۱۴	۰/۸۰	۱/۰۰	۰/۰۰
Cu	۰/۰۰	۰/۰۱	۰/۰۱	۰/۰۳	۰/۰۱	۰/۰۰	۳۲/۷۵	۷۷/۸۰	۶۶/۸۰	۵۲/۰۰	۴۳/۲۶	۱۹/۲۵	۲۶/۳۰	۲۹/۲۰
Zn	۶۴/۲۰	۶۵/۸۰	۰/۱۰	۰/۱۲	۰/۱۰	۶۳/۲۱	۰/۰۰	۰/۰۰	۱/۲۰	۰/۰۱	۹/۸۰	۲/۰۰	۲/۳۰	
As	۰/۲۰	۰/۰۰	۰/۷۵	۰/۰۴	۰/۰۱	۰/۰۰	۰/۴۶	۰/۲۰	۰/۲۰	۱۶/۴۰	۰/۵۴	۰/۸۰	۰/۵۰	۰/۴۰	۰/۰۱
Se	۰/۰۰	۰/۰۰	۰/۰۰	۰/۰۰	۰/۰۰	۰/۰۰	۰/۰۰	۰/۰۰	۰/۰۰	۰/۰۰	۰/۰۰	۰/۰۱	۰/۰۱	۰/۱۰	
Ag	۰/۰۱	۰/۰۲	۰/۰۱	۰/۰۰	۰/۰۰	۰/۰۰	۰/۰۳	۰/۰۱	۰/۲۰	۰/۳۰	۰/۲۰	۴/۰۶	۱۵/۰۰	۵/۲۰	۸۴/۰۰
Cd	۰/۸۰	۰/۲۵	۰/۰۱	۰/۳۰	۰/۰۱	۰/۱۰	۰/۰۰	۰/۰۲	۰/۰۰	۰/۵	۰/۰۰	۰/۸۱	
Au	۰/۰۲	۰/۰۰	۰/۰۰	۰/۰۱	۰/۰۰	۰/۱۰	
Pb	۰/۰۰	۰/۰۰	۸۸/۶۰	۸۶/۹۰	۸۹/۹۰	۰/۰۰	۰/۰۰	

مجید قاسمی سیانی و همکاران

	۱(۱۰)	۲(۱۰)	۳(۱۰)	۴(۱۰)	۵(۴)	۶(۵)	۷(۵)	۸(۲)	۹(۲)	۱۰(۶)	۱۱(۲)	۱۲(۳)	۱۳(۴)	۱۴(۳)	۱۵(۲)
Sb	۰/۰۱	۰/۰۳	۰/۰۱	۰/۰۱	۰/۰۰	۰/۰۰	۰/۰۱	۰/۰۰	۲۸/۲۰	۲۹/۳۴	۲۷/۰۰	۲۶/۴۰
W	۰/۰۱	۰/۰۱	۰/۰۰	۰/۰۰	۰/۰۰	۰/۰۲
Te	۰/۰۰	۰/۰۴	۰/۰۰	۰/۰۲	۰/۰۰	۰/۰۰	۰/۰۳	۰/۰۲	۰/۰۲	۰/۰۱	۰/۰۰	۰/۰۱	۰/۰۰	۰/۰۰
Bi	۰/۰۰	۰/۰۰	۰/۰۰	۰/۰۰	۰/۰۰	۰/۰۰	۰/۰۰	۰/۰۰	۰/۰۰	۰/۰۰	۰/۰۰
Sn	۰/۰۰	۰/۰۰	۰/۰۳	۰/۰۲	۰/۰۰	۰/۰۰	۰/۰۰	۰/۰۰	۰/۰۰	۰/۰۰	۰/۰۰
Total	۹۸/۷۰	۱۰۰/۲۱	۱۰۰/۰۸	۹۸/۳۲	۱۰۰/۷۴	۹۹/۷۱	۹۹/۴۵	۹۹/۳۶	۹۸/۶۲	۹۸/۷۹	۱۰۱/۰۷	۸۸/۲۰	۹۴/۶۲	۸۸/۷۱	۹۶/۲۱
	۱۶(۲)	۱۷(۳)	۱۸(۵)	۱۹(۵)	۲۰(۲)	۲۱(۲)	۲۲(۱۵)	۲۳(۳)	۲۴(۱۵)	۲۵(۲)	۲۶(۵)	۲۷(۶)	۲۸(۳)	۲۹(۲)	۳۰(۲)
S	۱۴/۵۰	۳۴/۲۰	۲۶/۴۰	۲۲/۲۰	۱۷/۸۰	۲۴/۳۰	۰/۰۰	۰/۰۰	۵۳/۰۰	۱۸/۰۰	۵۳/۵۰	۱۸/۱۰	۲۲/۰۰	۱۶/۰۰	۱۷/۱۰
Fe	۰/۰۰	۳۱/۷۸	۴/۸۰	۰/۰۱	۰/۰۱	۰/۰۰	۰/۱۳	۴۷/۴۰	۰/۰۰	۴۷/۲۶	۰/۰۰	۰/۰۲	۰/۰۱	۰/۰۱
Cu	۱۶/۵۰	۳۲/۵۰	۴۱/۸۲	۰/۰۰	۱۵/۸۰	۱/۴۰	۰/۰۱	۰/۰۱	۰/۰۲	۲۰/۰۰	۰/۱۰	۰/۰۱	۰/۰۱	۰/۱۰	۹/۸۰
Zn	۰/۳۰	۰/۰۰	۰/۰۱	۰/۰۰	۰/۰۰	۰/۰۳	۰/۰۲	۰/۰۰	۰/۰۰	۰/۰۰	۰/۰۰
As	۱/۵۰	۰/۶۰	۱۲/۳۰	۰/۰۲	۰/۰۱	۰/۱۰	۰/۱۰	۱/۰۰	۴/۱۰	۰/۳۰	۱۲/۲۰	۰/۱۰
Se	۰/۰۰	۰/۰۰	۰/۰۱	۰/۰۱	۰/۰۰	۰/۰۱	۰/۰۰	۰/۰۰	۰/۰۰	۰/۰۱	۰/۰۰	۰/۰۰	۰/۰۰
Ag	۰/۰۰	۰/۰۱	۱/۰۰	۰/۰۱	۰/۱۰	۰/۰۰	۲۵/۰۰	۷/۵۰	۰/۰۱	۳۰/۳۰	۰/۰۱	۲۵/۲۱	۵/۵۰	۳۶/۲۱	۰/۰۰
Cd	۰/۱۰	۰/۰۱	۰/۰۰	۷۵/۵۰	۰/۰۱	۰/۰۱	۰/۸۰	۰/۰۰
Au	۰/۰۸	۰/۰۰	۰/۰۰	۰/۰۰	۷۲/۵۰	۹۲/۰۰	۰/۰۱	۰/۰۰	۰/۰۲	۰/۰۰	۰/۰۰	۰/۰۰	۰/۰۰
Pb	۹۰/۹۰	۰/۰۰	۰/۲۰	۳۵/۵۰	۱/۰۳	۰/۰۰	۲۱/۰۰	۳۲/۲۰	۳۲/۲۸	۳۱/۱۲
Sb	۰/۰۰	۰/۰۸	۱۳/۴۱	۰/۰۰	۲۰/۸۰	۰/۰۰	۰/۰۰	۳۰/۰۰	۰/۰۱	۰/۰۰	۰/۰۰	۰/۰۰	۰/۰۰
W	۰/۰۰	۰/۰۱	۰/۰۰
Te	۰/۰۰	۰/۰۳	۰/۰۰	۰/۰۰	۰/۰۱	۰/۰۰	۰/۰۰	۰/۰۰	۰/۰۱	۰/۰۰	۰/۰۲
Bi	۰/۰۰	۰/۰۰	۰/۰۰	۰/۱۰	۷۳/۱۲	۰/۱۶	۰/۰۰	۵۴/۲۰	۳۴/۸۰	۰/۰۰	۳۲/۳۰
Sn	۰/۰۲	۰/۰۰	۰/۰۰	۰/۰۰
Total	۱۰۳/۶۰	۹۹/۵۱	۹۹/۷۴	۹۷/۹۶	۸۹/۹۲	۹۹/۸۶	۹۷/۵۳	۹۹/۸۴	۱۰۲/۰۰	۹۹/۲۰	۱۰۱/۹۲	۱۰۳/۹۲	۹۴/۰۴	۹۷/۸۰	۹۱/۴۳

ادامه جدول ۳. محاسبه مقادیر عنصری در واحد فرمول شیمیایی کانی در ترکیب کانی‌های سولفیدی اصلی و کمیاب با استفاده از مقادیر عنصری میانگین

	۱(۱۰)	۲(۱۰)	۳(۱۰)	۴(۱۰)	۵(۴)	۶(۵)	۷(۵)	۸(۲)	۹(۲)	۱۰(۶)	۱۱(۲)	۱۲(۳)	۱۳(۴)	۱۴(۳)	۱۵(۲)
S	0.512	0.504	0.428	0.443	0.434	0.517	0.485	0.350	0.480	0.461	0.491	0.499	0.465	0.491	0.324
Fe	0.001	0.007	0.000	0.000	0.000	0.001	0.272	0.001	0.001	0.001	0.002	0.002	0.009	0.012	0.000
Cu	0.000	0.000	0.000	0.001	0.000	0.000	0.240	0.648	0.517	0.406	0.374	0.202	0.268	0.299	0.000
Zn	0.483	0.488	0.002	0.002	0.002	0.481	0.000	0.000	0.000	0.009	0.000	0.100	0.020	0.023	0.000
As	0.001	0.000	0.013	0.001	0.000	0.000	0.003	0.001	0.001	0.113	0.004	0.007	0.004	0.003	0.000
Se	0.000	0.000	0.000	0.000	0.000	0.000	0.000	0.000	0.000	0.000	0.000	0.000	0.000	0.000	0.001
Ag	0.000	0.000	0.000	0.000	0.000	0.000	0.000	0.000	0.001	0.001	0.001	0.025	0.090	0.031	0.674
Cd	0.003	0.001	0.000	0.003	0.000	0.000	0.000	0.000	0.000	0.002	0.000	0.005	0.000	0.000	0.000
Au	0.000	0.000	0.000	0.000	0.000	0.000	0.000	0.000	0.000	0.000	0.000	0.000	0.000	0.000	0.000
Pb	0.000	0.000	0.556	0.549	0.564	0.000	0.000	0.000	0.000	0.000	0.000	0.000	0.000	0.000	0.000
Sb	0.000	0.000	0.000	0.000	0.000	0.000	0.000	0.000	0.000	0.002	0.127	0.161	0.144	0.141	0.000
W	0.000	0.000	0.000	0.000	0.000	0.000	0.000	0.000	0.000	0.000	0.000	0.000	0.000	0.000	0.000
Te	0.000	0.000	0.000	0.000	0.000	0.000	0.000	0.000	0.000	0.000	0.000	0.000	0.000	0.000	0.000
Bi	0.000	0.000	0.000	0.000	0.000	0.000	0.000	0.000	0.000	0.000	0.000	0.000	0.000	0.000	0.000
Sn	0.000	0.000	0.000	0.000	0.000	0.000	0.000	0.000	0.003	0.000	0.000	0.000	0.000	0.000	0.000
Total	1.00	1.00	1.00	1.00	1.00	1.00	1.00	1.00	1.00	1.00	1.00	1.00	1.00	1.00	1.00

ادامه جدول ۳

	16(2)	17(3)	18(5)	19(15)	20(2)	21(2)	22(15)	23(3)	24(15)	25(2)	26(5)	27(6)	28(3)	29(2)	30(2)
S	0.390	0.494	0.445	0.507	0.484	0.668	0.000	0.000	0.660	0.398	0.660	0.501	0.625	0.430	0.534
Fe	0.000	0.263	0.046	0.000	0.000	0.000	0.000	0.004	0.339	0.000	0.334	0.005	0.000	0.000	0.000
Cu	0.224	0.237	0.355	0.000	0.217	0.019	0.000	0.000	0.000	0.223	0.001	0.000	0.000	0.001	0.154
Zn	0.000	0.002	0.000	0.000	0.000	0.000	0.000	0.001	0.000	0.000	0.000	0.000	0.000	0.000	0.000
As	0.132	0.004	0.089	0.000	0.000	0.000	0.000	0.000	0.001	0.001	0.005	0.049	0.004	0.140	0.001
Se	0.000	0.000	0.000	0.000	0.000	0.000	0.000	0.000	0.000	0.000	0.000	0.000	0.000	0.000	0.000
Ag	0.000	0.000	0.005	0.000	0.001	0.000	0.386	0.129	0.000	0.199	0.000	0.207	0.051	0.289	0.000
Cd	0.001	0.000	0.000	0.492	0.000	0.000	0.000	0.000	0.000	0.005	0.000	0.000	0.000	0.000	0.000
Au	0.000	0.000	0.000	0.000	0.000	0.613	0.864	0.000	0.000	0.000	0.000	0.000	0.000	0.000	0.000
Pb	0.253	0.000	0.000	0.001	0.150	0.004	0.000	0.000	0.000	0.000	0.000	0.009	0.154	0.138	0.150
Sb	0.000	0.000	0.059	0.000	0.148	0.000	0.000	0.000	0.000	0.175	0.000	0.000	0.000	0.000	0.000
W	0.000	0.000	0.000	0.000	0.000	0.000	0.000	0.000	0.000	0.000	0.000	0.000	0.000	0.000	0.000
Te	0.000	0.000	0.000	0.000	0.000	0.000	0.000	0.000	0.000	0.000	0.000	0.000	0.000	0.000	0.000
Bi	0.000	0.000	0.000	0.000	0.000	0.308	0.000	0.001	0.000	0.000	0.000	0.230	0.165	0.000	0.160
Sn	0.000	0.000	0.000	0.000	0.000	0.000	0.000	0.000	0.000	0.000	0.000	0.000	0.000	0.000	0.000
Total	1.00	1.00	1.00	1.00	1.00	1.00	1.00	1.00	1.00	1.00	1.00	1.00	1.00	1.00	1.00

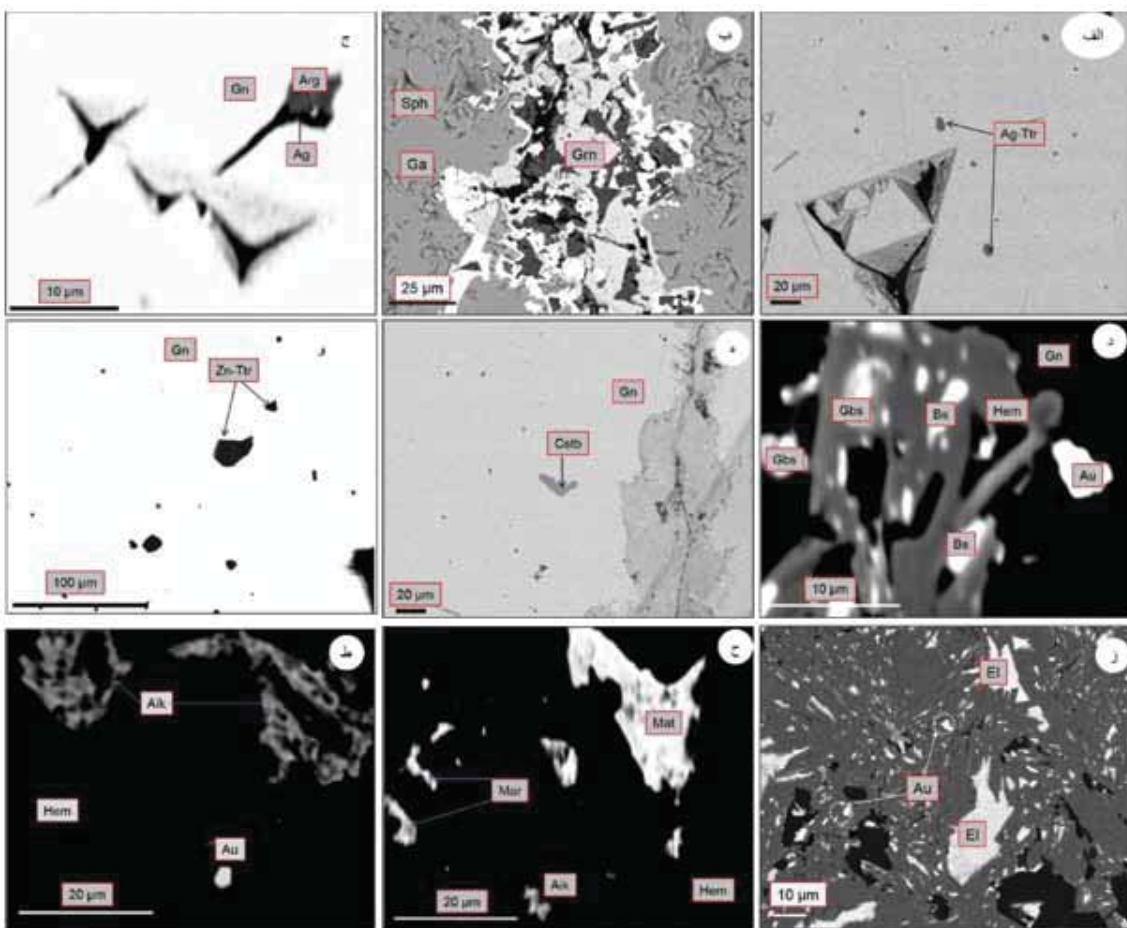
1. $Zn_{0.98}S_{1.02}$ 2. $Zn_{0.98}S_{1.00}$ 3. $Pb_{1.08}As_{0.03}S_{0.85}$ 4. $Pb_{1.08}S_{0.88}$
 5. $Pb_{1.12}S_{0.86}$ 6. $Zn_{0.96}S_{1.03}$ 7. $Cu_{0.96}Fe_{1.08}S_{1.92}$ 8. $Cu_{1.95}S_{1.05}$
 9. $Cu_{1.03}S_{0.97}$ 10. $Cu_{3.2}As_{0.9}Zn_{0.08}S_{3.68}$ 11. $Cu_{2.96}Sb_{1.01}S_{3.92}$
 12. $(Cu_{7.34}Fe_{0.06}Ag_{0.9}Zn_{3.7})_{12}(Sb_{3.84}As_{0.08})_4S_{13}$ 13. $(Cu_{8.31}Fe_{0.27}Ag_{2.8}Zn_{0.64})_{12}(Sb_{3.9}As_{0.1})_4S_{11.96}$
 14. $(Cu_{9.8}Fe_{0.41}Ag_{1.0}Zn_{0.7})_{12}Sb_4S_{12.74}$ 15. $Ag_{2.01}S_{0.96}$ 16. $Pb_{1.5}Cu_{1.32}As_{0.78}S_{2.4}$
 17. $Cu_{0.92}Fe_{1.08}S_2$ 18. $(Cu_{10.6}Fe_{1.2}Ag_{0.15})_{12}(Sb_{1.6}As_{2.4})_4S_{11.44}$ 19. $Cd_{0.98}S_{1.02}$
 20. $Pb_{4.05}Sb_{3.78}Cu_{5.67}S_{12.96}$ 21. $Cu_{0.06}Bi_{1.5}S_{3.3}$ 22. $Ag_{0.77}Au_{1.23}$ 23. $Au_{1.72}Ag_{0.26}$
 24. $Fe_{1.02}S_{1.98}$ 25. $Ag_{4.76}Sb_{5.6}Cu_{9.2}S_{11.2}$ 26. $Fe_{0.99}S_{1.98}$ 27. $Bi_{0.92}Ag_{0.83}As_{0.2}S_2$
 28. $Bi_{1.12}Pb_{1.05}Ag_{0.35}S_{4.34}$ 29. $Pb_{1.82}As_{1.96}Ag_{3.92}S_{6.02}$ 30. $Cu_{0.9}Pb_{0.9}Bi_{0.96}S_{3.18}$

با توجه به نمودار نسبت‌های عنصری $As/(Sb+As)$ و $Zn/(Fe+Zn)$ ، تتراهدریت و تناننتیت را می‌توان از هم تفکیک کرد (شکل ۱۵-ب). از نمودار سه‌تایی درصد مولار عناصر تشکیل دهنده برای شناسایی و تفکیک کانه‌های بیسیموتدار استفاده شد. با استفاده از محاسبه درصد مولار عناصر گوگرد، بیسیموت و مجموع عناصر فلزی مس، آهن و سرب در تجزیه‌های نقطه‌ای بدست آمده از کانه‌های گروه بیسیموت، نمودار سه‌تایی این کانه‌ها رسم شد که در آن کانه‌های بیسیموقینیت، گالنوبیسیموقینیت و ماتیلیدیت از یکدیگر قابل تشخیص است (شکل ۱۵-ج).

کانه‌زایی تتراهدریت-تناننتیت در زیرمرحله 2B و کانه‌های بیسیموتدار در زیرمرحله 3A رخ داده است. این کانه‌ها را می‌توان توسط نمودارهای دوتایی و سه‌تایی عنصری از یکدیگر تفکیک کرد. از جمله این نمودارها، استفاده از نمودارهای دوتایی نسبت‌های عنصری $As/(Sb+As)$ و $Sb/(Sb+As)$ در مقابل مقادیر Ag در فرمول $Zn/(Fe+Zn)$ شده توسط (Cook, 1998) است که با توجه به آنها کانه‌های سولفوسالتی تناننتیت، تتراهدریت و فریبرجیت که دارای ترکیبات مشابهی هستند قابل تفکیک است (شکل ۱۵-الف). همچنین (Hackbarth and Petersen, 1984; Sack, 1992; Sack et al., 2002) بیان کردند

1. Ag atoms pfu

2. Mole %



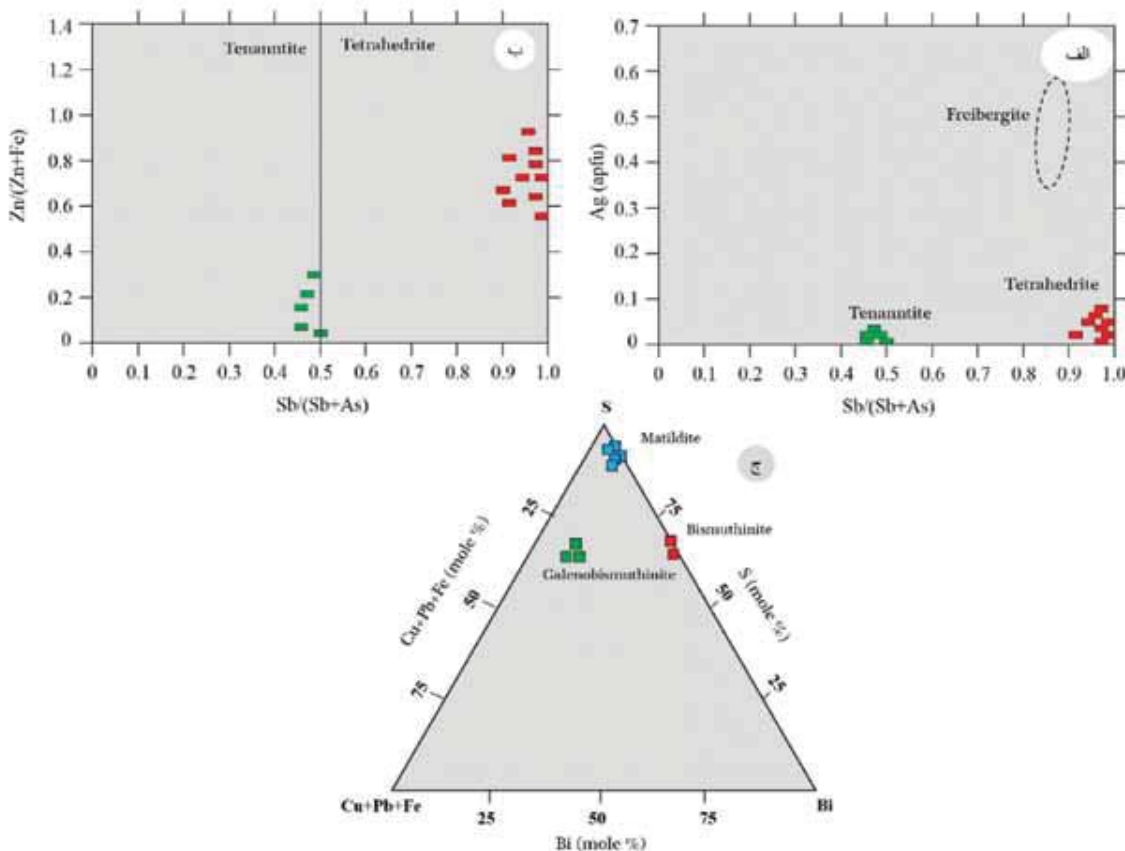
شکل ۱۴. تصاویر میکروسکوپی الکترونی SEM و EPMA از مراحل کانه‌زایی، (الف) ادخال تتراهدریت نقره‌دار در گالن در زیرمرحله ۲A، (ب) کانی‌سازی گرینوکیت همراه با گالن و اسفالریت در زیرمرحله ۲A، (ج) نقره طبیعی در آرژنتینیت در مرحله ۲A، (د) کانه‌زایی گرانبها و کانی‌های حاوی گالن و بیسموت به صورت ادخال در هماتیت زیرمرحله ۳A، (ه) و (و) به ترتیب ادخال کالکواستینینت و تتراهدریت روی دار، در گالن در زیرمرحله ۲A، (ز) کتروم، طلا و کانی‌های دیگر ادخال در هماتیت زیرمرحله ۳A. برای علایم اختصاری به شکل ۱۲ مراجعه شود. دیگر علایم اختصاری شامل گاللونبیسموتینیت (Gbs)، بیسموتینیت (Bs) ایکینیت (Aik)، ماتیلیدیت (Mat) و ماریت (Mar)

نتیجه‌گیری

جنوب غربی (شمالي-جنوبي) تشکيل شده است. کانه‌زایي در گلوجه به صورت کانه‌زایي سرب، روی، مس، طلا، نقره و مقادير فرعی بیسموت و کادميوم است.

کانه‌زایي در گلوجه عمدتاً به صورت توده‌اي، بانده‌اي قشری تقریباً متقارن، پرکننده فضای خالی، رگه و رگچه و برشی است. کانه‌های اصلی در گلوجه شامل گالن، اسفالریت، کالکوپیریت، بورنیت، بورونیت، کالکوست، کوولیت، کانه‌های سولفوسالتی، انارژیت، فاماتینیت، گرینوکیت، تتراهدریت، تنانتیت، کانه‌های بیسموت‌دار و کانه‌های فلرات‌گرانبها و کانی‌های باطله بیشتر کوارتز،

ایالت فلززایي طارم-هشتتجين واقع شده در البرز غربی (پهنه البرز-آذربایجان)، میزبان نشانه‌ها و آثار معدني متعددی است و کانسار گلوجه در میزبان سنگ‌های آتشفسانی ترشیری، به صورت رگه و رگچه‌ای سیلیسی-برشی، در مرکز ایالت فلززایي طارم-هشتتجين قرار دارد. کانه‌زایي در منطقه گلوجه در دو محدوده گلوجه شمالي و گلوجه جنوبي تشکيل شده است. کانه‌زایي در گلوجه شمالي از دو رگه اصلی و چندین رگه فرعی با امتداد شرقی-غربي و کانه‌زایي در گلوجه جنوبي نيز از دو رگه اصلی و چندین رگه فرعی با امتداد شمال غرب-جنوب شرقی و شمال شرقی-



شکل ۱۵. (الف) نمودار دوتایی نسبت عنصری $Zn/(Zn+Fe)$ در مقابل مقادیر $Sb/(Sb+As)$ در فرمول کانی (Cook, 1998). (ب) نمودار دوتایی نسبت عنصری $Ag (ppm)$ در مقابل مقادیر $Sb/(Sb+As)$. (ج) نمودار سه‌تایی درصد مولار عناصر گوگرد، بیسموت و مجموع عناصر آهن-سرپ-مس در کانه‌ای بیسموت‌دار منطقه که بر اساس آن می‌توان کانه‌ای گروه بیسموت را از یکی‌گر تفکیک کرد.

منطقه به خصوص آرژیلیکی است. بر مبنای شواهد پetroگرافی، ژئوشیمی سنگ کل و نسبت مولار در سنگ‌های دگرسان منطقه گلوجه می‌توان گفت که بیشترین سهم در کانه‌زایی در ارتباط با دگرسانی آرژیلیک و سریسیتیک است. بافت‌های شانه‌ای و قشرگون مربوط به عمق متوسط تا زیاد (بیش از ۵۰۰ متر)، بافت پرکننده فضای خالی، نشان‌دهنده عمق متوسط و بافت قشرگون-کلوفرمی مربوط به محیط‌های کم عمق برای تشکیل کانسارهای اپی‌ترمال است. شکل ذخیره در کانسار گلوجه به صورت رگه و رگچه‌ای با بافت پرکننده فضای خالی، برشی، شکافه پرکن، دانه پراکننده و جانشینی است، لذا کانه‌زایی این کانسار احتمالاً در عمق متوسط صورت گرفته است. بافت‌های کلوفرم نیز در سطح تشخیص داده شده است. از لحاظ کانی‌شناسی نیز کانه‌ای سولفیدی شدن بالا مثل کوولیت، کالکوست و

کلسیت، فلوریت و سیلیکات‌ها و کربنات‌های منگنز است. مهم‌ترین دگرسانی‌ها در کانسارهای سولفیدی شدن بالا، دگرسانی آلونیت-پروفیلیت و برای سولفیدی شدن پایین دگرسانی آدولاریا-سریسیت است. در کانه‌زایی گلوجه مهم‌ترین دگرسانی‌ها سیلیسی شدن، آرژیلیک (آرژیلیک حدواسط و آرژیلیک پیشرفته)، دگرسانی سریسیتی و پروپیلیتی است. کانی آلونیت که شاخص سولفیدی شدن بالا است نیز در گلوجه مشاهده شده است. براساس مطالعه نسبت‌های عنصری مولار در دگرسانی، بیشترین نسبت $(2Ca+Na+K)/Al$ متعلق به سنگ میزبان (داسیت و آندزیت بازالت) دگرسان شده است. همبستگی منفی میان غلظت عناصر کانه‌ساز در مقابل نسبت عنصری مولار $(2Ca+Na+K)/K$ گویای غنی‌شدگی این عناصر در رگه‌ها و افق‌های کانه‌ساز و ارتباط ژئوشیمیابی با دگرسانی‌های

- حضور بافت قشری متقارن و شکافه پرکن که شاخص کانسارهای سولفیدی شدن متوسط می باشد
- مرحله سوم کانه‌زایی به عنوان مرحله اصلی فلزات کانه‌زایی گرانبها در نظر گرفته شده است. در مرحله سوم خصوصیات مهمی مثل کانه‌زایی فلزات گرانبها، سیال کانه‌زایی با دما و شوری بسیار کمتر نسبت به مراحل قبل، حضور بافت کلوفرم و نقش سیالات جوی در کانه‌زایی به چشم می خورد که نشان می دهد احتمالاً مرحله سوم از نوع کانی‌سازی سوپرژن است. هرچند که این مرحله با کانسارهای سولفیدی شدن پایین نیز قابل قیاس است.
- ### منابع
- افتخارنژاد، ج.، ۱۳۵۹. تفکیک بخش‌های مختلف ایران از لحاظ وضع ساختمانی در ارتباط با حوضه‌های رسوی، نشریه انجمن نفت، ۸۲، ۲۸-۱۹.
 - آقانباتی، س، ع.، ۱۳۸۳. زمین‌شناسی ایران. انتشارات سازمان زمین‌شناسی کشور، ۳۴۵.
 - حاج علیلو، ب.، ۱۳۷۸. مطالوزنی ترشییری البرز غربی- آذربایجان (میانه سیه‌رود) با نگرشی بر منطقه هشت‌جین. چهارمین همایش انجمن زمین‌شناسی ایران، ۳۲۳-۳۳۱.
 - فریدی، م.و.، وانوری، ا.، ۱۳۸۳. نقشه زمین‌شناسی ۱:۱۰۰۰۰ هشت‌جین. سازمان زمین‌شناسی و اکتشافات مواد معدنی کشور، ۵۶۶۴.
 - قاسمی سیانی، م.، ۱۳۹۳. زمان و منشا رگه‌های اپی‌ترمال و زون‌بندی ژئوشیمیایی در کانسار گلوجه (شمال زنجان)، ایران، رساله دکتری زمین‌شناسی اقتصادی، دانشکده علوم‌زمین، دانشگاه خوارزمی، ۲۰۰.
 - قربانی، م.، ۱۳۸۶. زمین‌شناسی اقتصادی ذخایر معدنی و طبیعی ایران. انتشارات آرین زمین، ۵۱۵.
 - هادی‌زاده، ح.، ۱۳۸۳. اکتشافات ژئوشیمیایی از دیدگاه زمین‌شناسی اقتصادی در محدوده برگه توپوگرافی ۱/۵۰۰۰۰ (از ورقه ۱/۱۰۰۰۰ ماسوله)، پایان‌نامه کارشناسی ارشد دانشکده علوم طبیعی، دانشگاه تبریز، ۱۷۸.
 - Barton, P.B. and Bethke, P.M., 1987. Chalcopyrite disease in sphalerite: Pathology and epidemiology. American Mineralogist, 72, 451-467.
 - Barton, P.B., Bethke, P.M. and Roeder, E., 1987. Environment of ore deposition in
- انارژیت تا کانی‌های سولفیدی شدن متوسط گالن، اسفالریت و کالکوپیریت در گلوجه تشکیل شده است.
- به‌طور کلی با توجه به مطالعات کانی‌شناسی و دگرسانی (این تحقیق) و همچنین مطالعات سیالات درگیر، ایزوتوپی و ژئوشیمی می‌توان نتیجه گرفت که کانه‌زایی در گلوجه از نوع سولفیدی شدن بالاتا متوسط است. به‌طوری‌که کانه‌زایی مرحله اول از نوع سولفیدی شدن بالا است به دلیل:
- وجود کانی‌های مرحله سولفیدی شدن بالا شامل کوولیت، کالکوسیت و انارژیت
 - نقش عمده سیال ماقمایی در کانه‌زایی (سیال شور و داغ و اکسیدان) و تایید ایزوتوپی اکسیژن و گوگرد بر نقش سیال ماقمایی در کانه‌زایی
 - حضور دگرسانی‌های سریسیتی و آرزیلیکی پیشرفته (حضور کانی آلونیت)
 - کانه‌زایی مس، آرسنیک، آنتیموان و طلا
 - حضور بافت جانشینی (کوارتز بر جای مانده، توده‌ای و برشی) که شاخص نوع سولفیدی شدن بالا است کانه‌زایی در مرحله دوم به دلیل زیر از نوع کانه‌زایی سولفیدی شدن متوسط است.
 - کانه‌زایی غنی از فلزات پایه (کانی‌های سولفیدی شدن متوسط گالن و اسفالریت) و به خصوص غنی‌بودن از کانی‌های حاوی نقره
 - فوگاسیتنه گوگرد (محاسبه شده بر اساس محتوی آهن در اسفالریت) در نوع سولفیدی شدن متوسط (۱۰-۱۰/۵ تا ۱۰/۵ بار)
 - وجود سیلیکات و کربنات‌های منگنز (رودونیت، رودوکروزیت و بوستامیت) که خاص کانسارهای سولفیدی شدن متوسط است
 - دمای همگن شدن و شوری سیالات درگیر (دما و شوری کمتر به نسبت مرحله اول)
 - اسفالریت با مقدار آهن کم
 - کانه‌زایی گالن، اسفالریت، تتراهدریت و تنانیت
 - وجود سولفوسالت‌های متنوع
 - نقش سیالات ماقمایی و جوی در کانه‌زایی و اختلاط دو سیال در عمق‌های کمتر

- the Creede mining district, San Juan Mountains, Colorado: Part III. Progress toward interpretation of the chemistry of the ore-forming environment. *Economic Geology*, 72, 1-24.
- Bente, K. and Doring, T., 1995. Experimental studies on the solid state diffusion of Cu and In in ZnS and on "disease", DIS (Diffusion Induced Segregations), in sphalerite and their geological applications. *Mineralogy and Petrology*, 53, 285-305.
 - Bente, K. and Doring, T., 1993. Solid-state diffusion in sphalerites: an experimental verification of the "chalco-pyrite disease". *European Journal of Mineralogy*, 5, 465-478.
 - Bindi, L., Evain, M. and Menchetti, S., 2007a. Selenopolybasite, $[(\text{Ag}, \text{Cu})_6(\text{Sb}, \text{As})_2(\text{S}, \text{Se})_7][\text{Ag}_9\text{Cu}(\text{S}, \text{Se})_2\text{Se}_2]$, a new member of the pearceite-polybasite group from the De Lamar mine, Owyhee county, Idaho, USA. *Canadian Mineralogist*, 45, 1525-1528.
 - Bindi, L., Evain, M., Spry, P.G. and Menchetti, S., 2007b. The pearceite-polybasite group of minerals: Crystal chemistry and new nomenclature rules. *American Mineralogist*, 92, 918 -925.
 - Buchanan, L.J., 1981. Precious Metal Deposits Associated with Volcanic Environments in the Southwest: In Relations of Tectonics to Ore Deposits in the Southern Cordillera. Eds. Dickson, W.R. and Payne, W.D., Geological Society of Arizona, Digest, 14, 237-262.
 - Camprubí, A. and Albinson, T., 2007. Epithermal deposits in Mexico: Update of current knowledge, and an empirical reclassification. *Geological Society of America, Special Paper*, 422, 377-415.
 - Chathelina, M., 1988. Cation state occupancy in chlorites and illites as a function of temperature. *Clay Minerals*, 23, 471-485.
 - Chathelina, M. and Nieva, D., 1985. A chlorite solid solution geothermometry, the los Azufrez geothermal system (Mexico). Contribution to Mineralogy and Petrology, 91, 235-244.
 - Cook, N.J., 1998. Bismuth sulfphosalts from hydrothermal vein deposits of Neogene age, N.W. Romania, *Mitt. Österr. Miner Ges*, 143, 19 - 39.
 - Cooke, D.R. and Simmons S.F., 2000. Characteristics and genesis of epithermal gold deposits. *Reviews in Economic Geology*, v. 13, 221-244.
 - Ghorbani, M., 2013. The Economic Geology of Iran, Mineral Deposits and Natural Resources, Chapter 2: A Summary of Geology of Iran. Springer, 572.
 - Gemmell, B., 2004. Low and intermediate-sulfidation epithermal deposits. ARC- AMIRAP, Australia, 57- 63.
 - Gemmell, B., 2006. Exploration implication of hydrothermal alteration associated with epithermal Au-Ag deposits. ARC- AMIRAP, 588, 1-5.
 - Grant, J.A., 1986. The isocon diagram-a simple solution to Gresensequation for metasomatic alteration. *Economic Geology*, 81, 1976-1982.
 - Hackbarth, C.J. and Petersen, U., 1984. A fractional crystallization model for the deposition of argentinian tetrahedrite. *Economic Geology*, 79, 448-460.
 - Pirajno, F., 1992. Hydrothermal Mineral Deposits, Principle and Fundamental Concept for the Exploration Geologist, Springer, 1250.
 - Sack, R.O., 1992. Thermochemistry of tetrahedrite-tennantite fahlores. In: Price GD, and Ross, N.L., (eds) Chapman and Hall, London.
 - Sack, R.O., Kuehner, S.M. and Hardy, L.S., 2002. Retrograde Ag-enrichment in fahlo-

- res from the Coeur d'Alene mining district, Idaho, USA. *Mineralogy Magazine*, 66, 215-229.
- Simon, G., Kesler, S.E. and Essene, E.J., 1997. Phase relations among selenides, sulfides, tellurides, and oxides: II. Applications to selenide-bearing ore deposits. *Economic Geology*, 92, 468-484.
- Vaughan, D.J., and Craig, J.R., 1997. Sulfide Ore Mineral Stabilities, Morphologies, and Intergrowth Textures: Geochemistry of Hydrothermal Ore Deposits. 3rd. ed., Edited by Hubert L. Barnes, 367 - 434.
- White, N.C. and Hedenquist, J.W., 1995. Epithermal gold deposits: styles, characteristics and exploration. Published in *SEG Newsletter*, 23, 9-13.
- Whitney, D.L. and Evans, B.V., 2010. Abbreviations for names of rock-forming minerals. *American Mineralogist*, 95, 185-187.